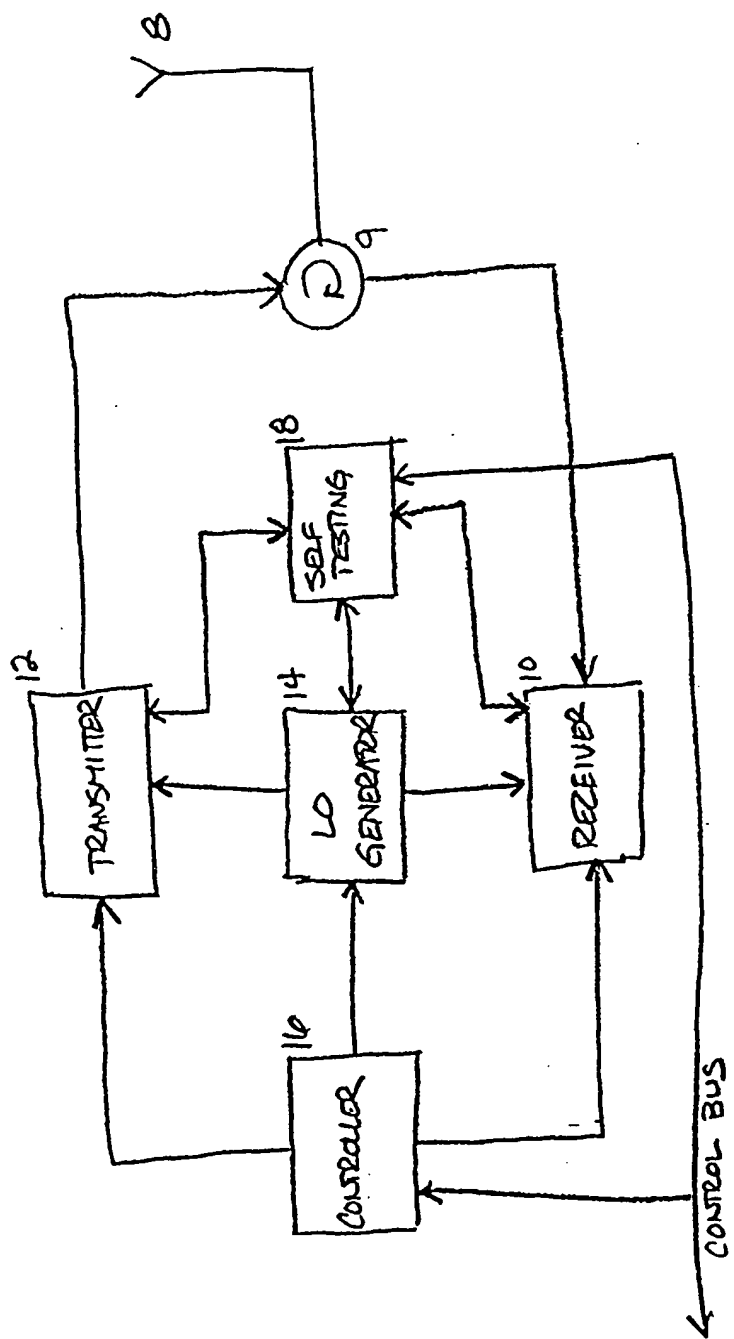


FIG. 1



0020118660

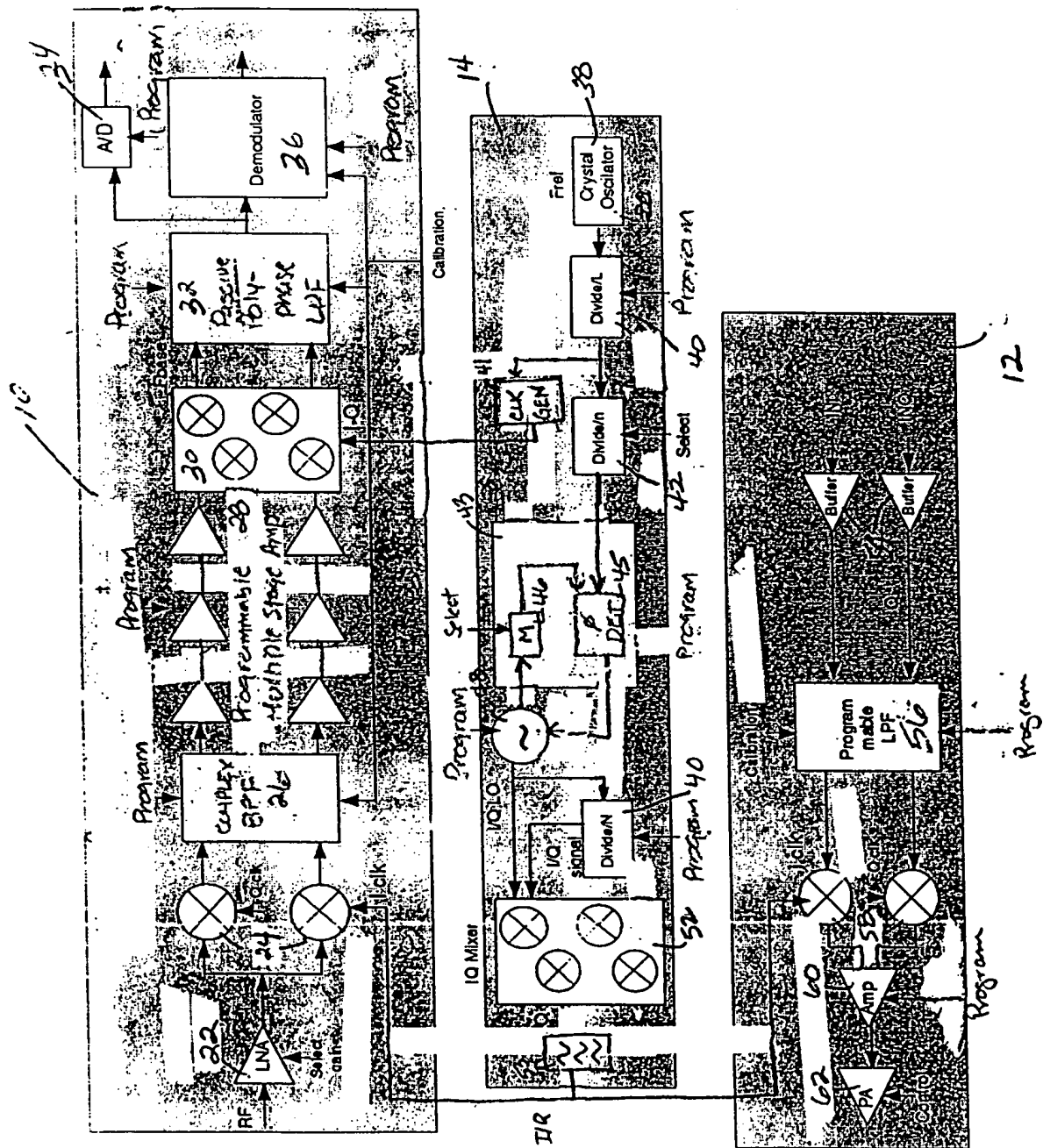


FIG. 2

00220T 86486960

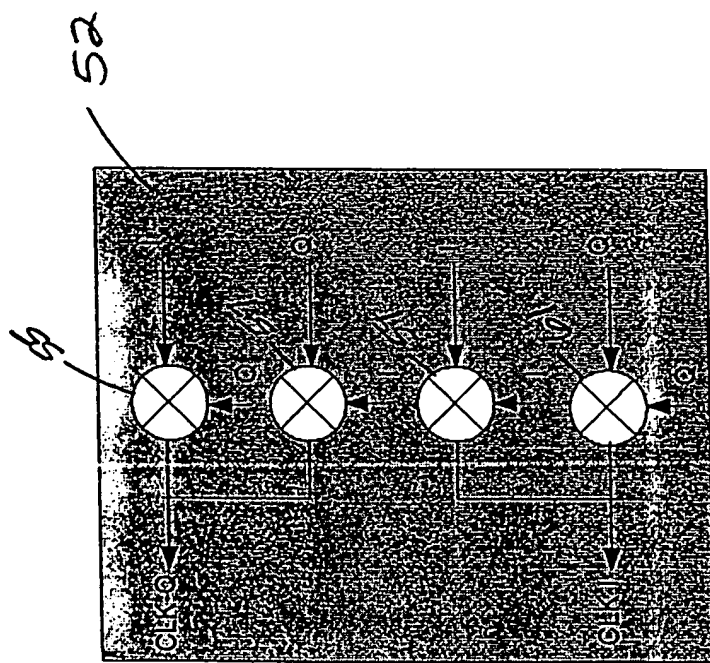


FIG. 3

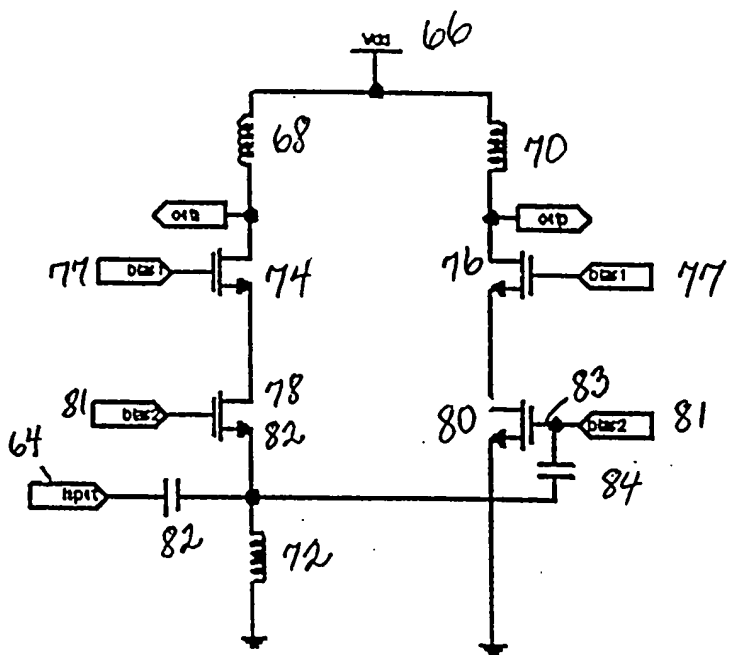


FIG. 4

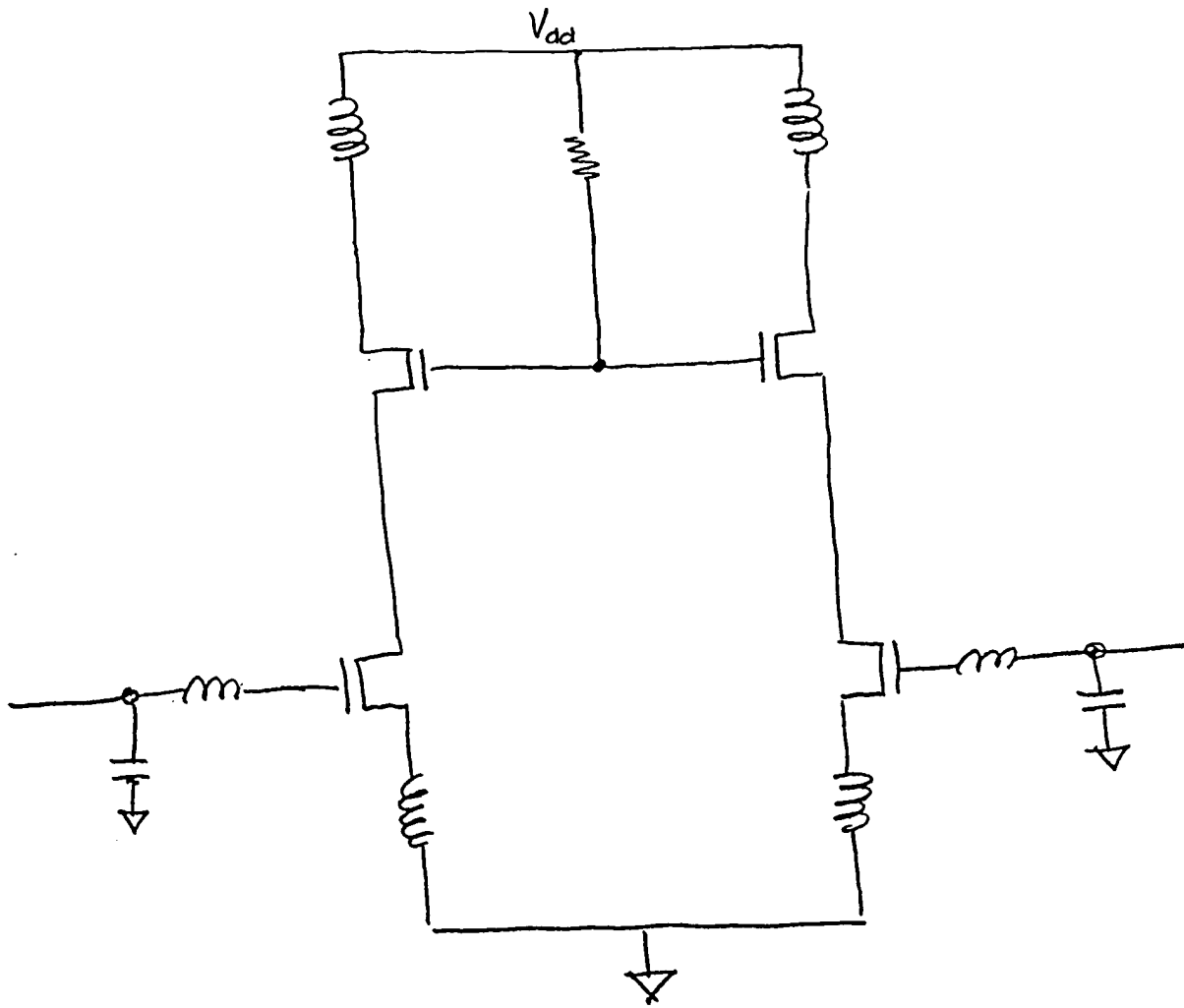


FIG. 4 (a)

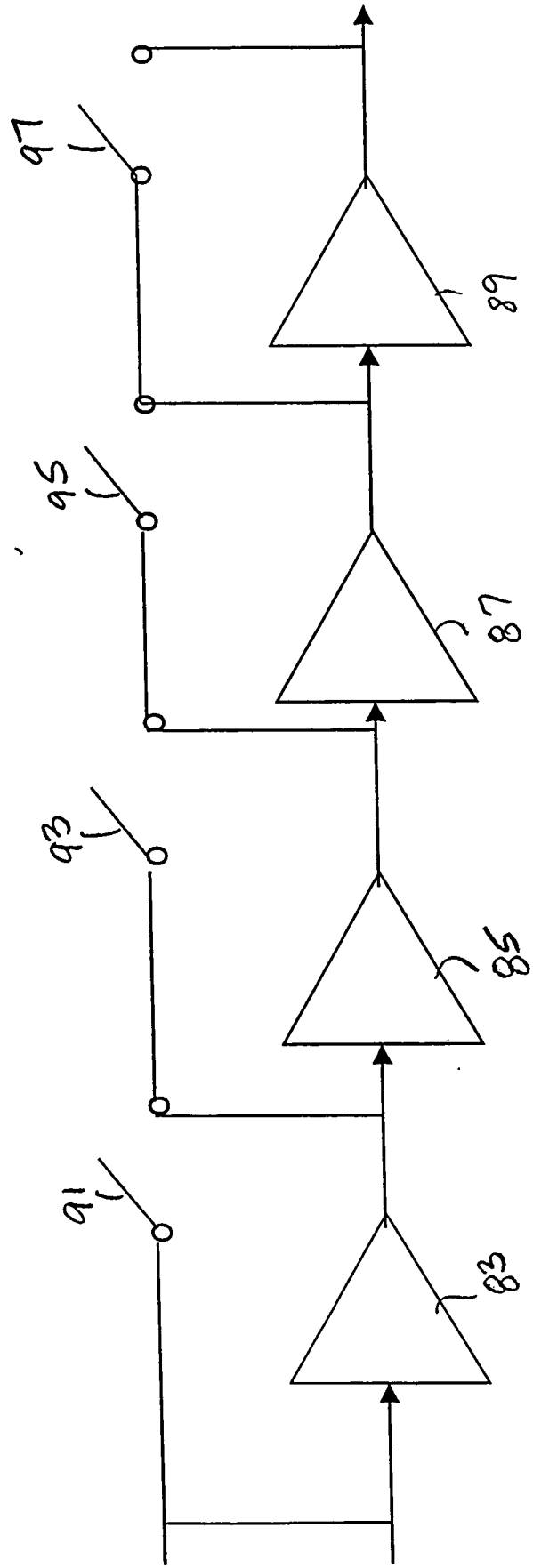


FIG. 5

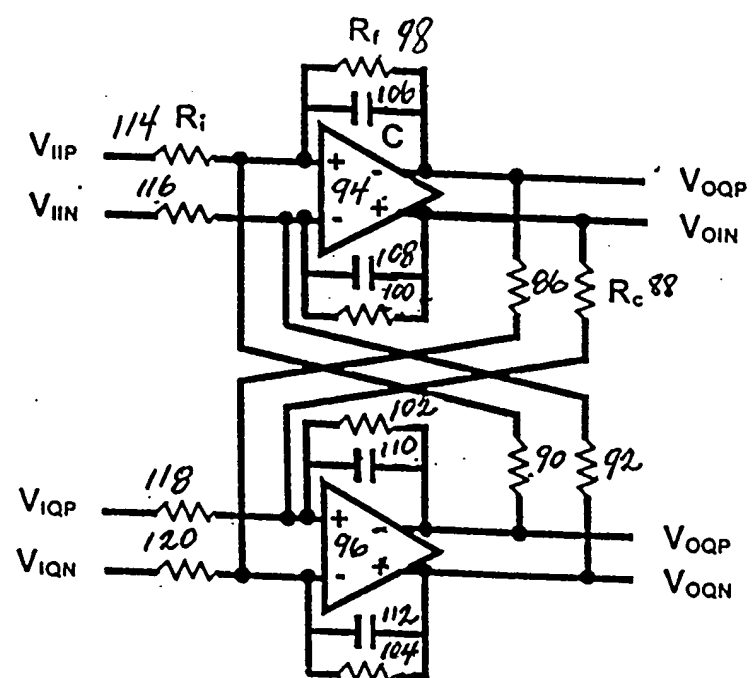


FIG. 6

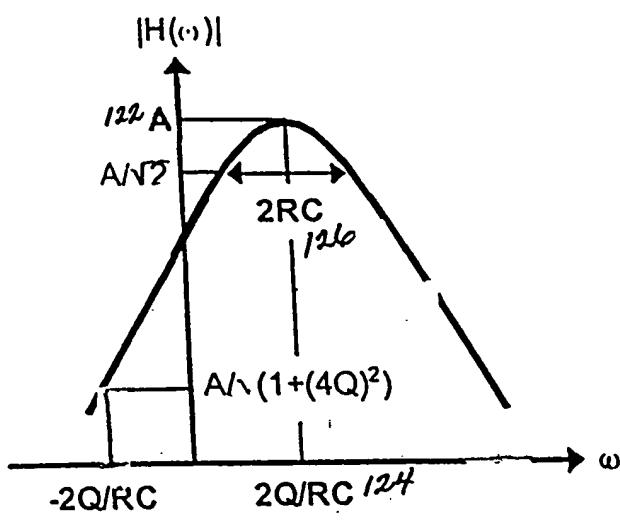


FIG. 7

002201 "2641869160

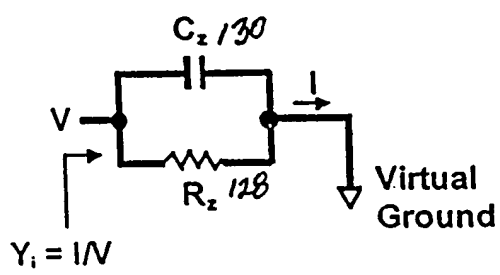


FIG. 8

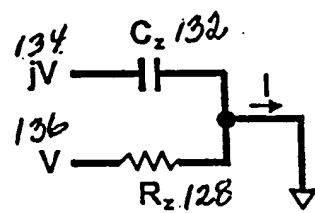


FIG. 9

00220T-864836060

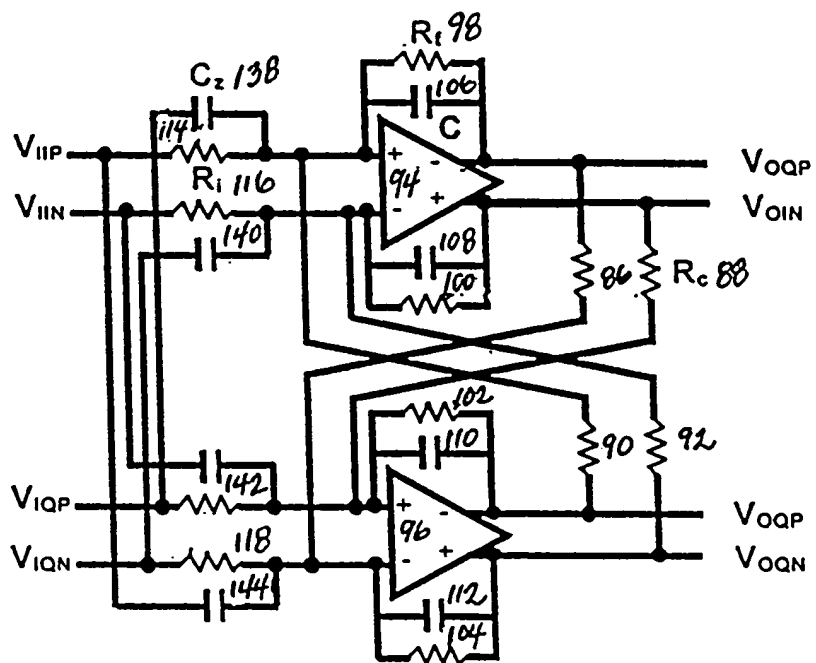


FIG. 10

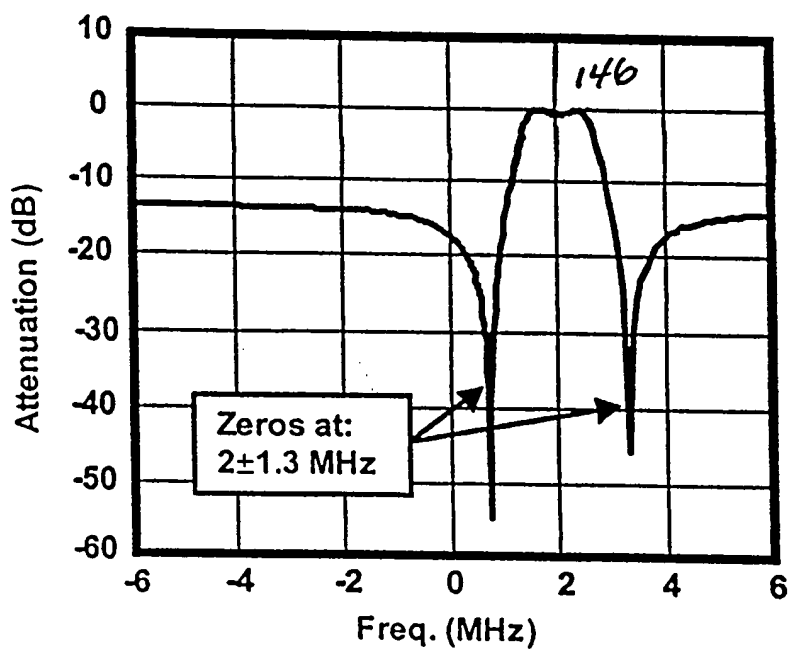


FIG. 11

00220T 051816960

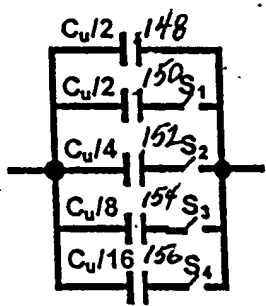


FIG. 12(a)

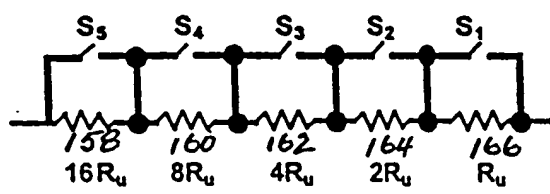


FIG. 12(b)

002201-36486960

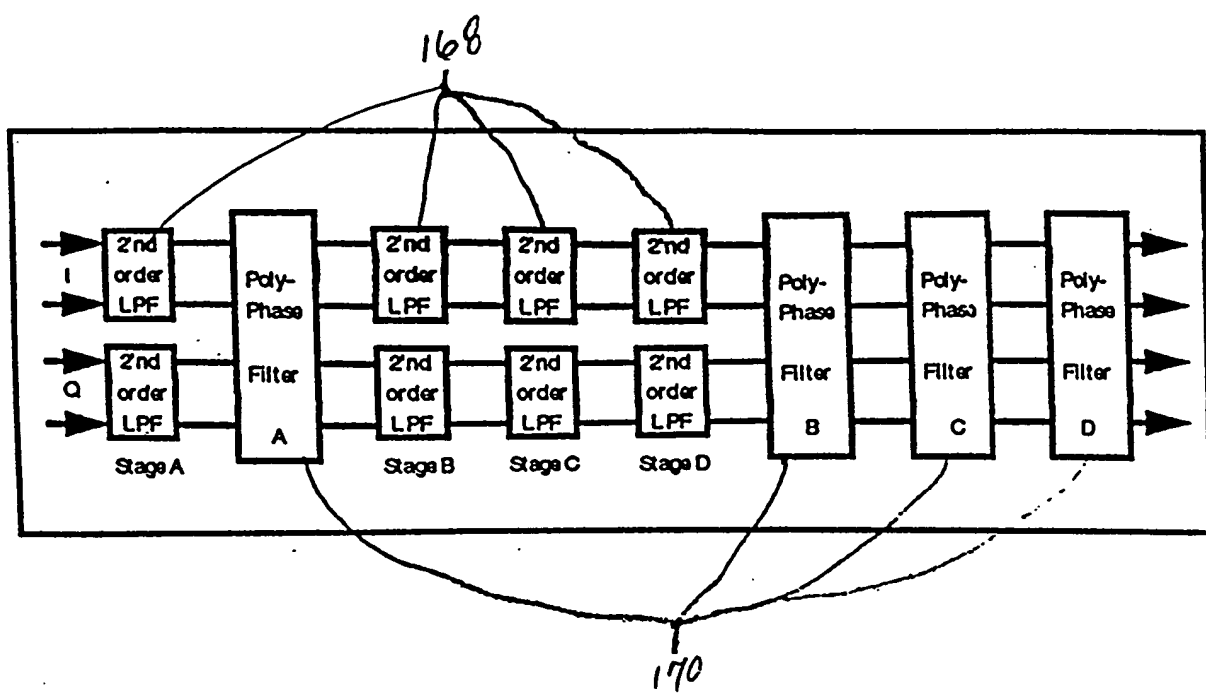
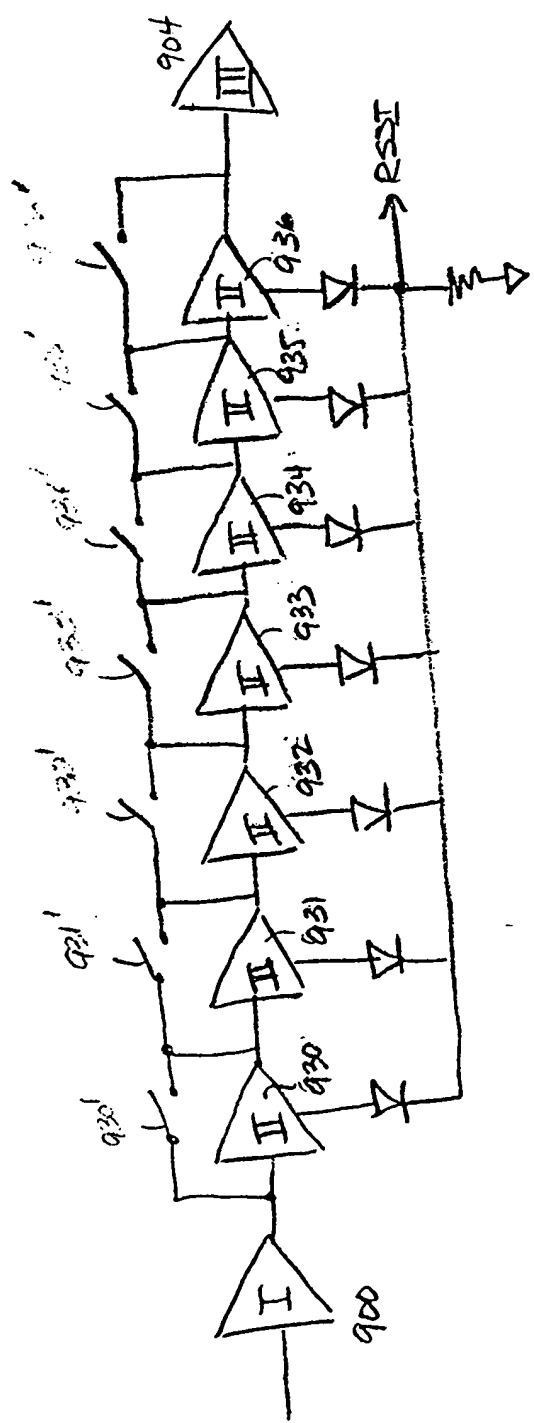


FIG. 13

FIG. 14



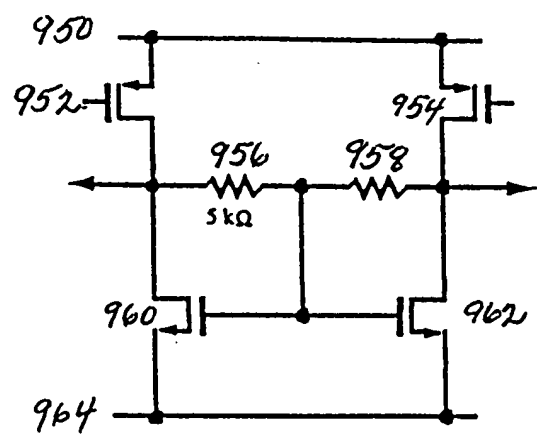


FIG. 15

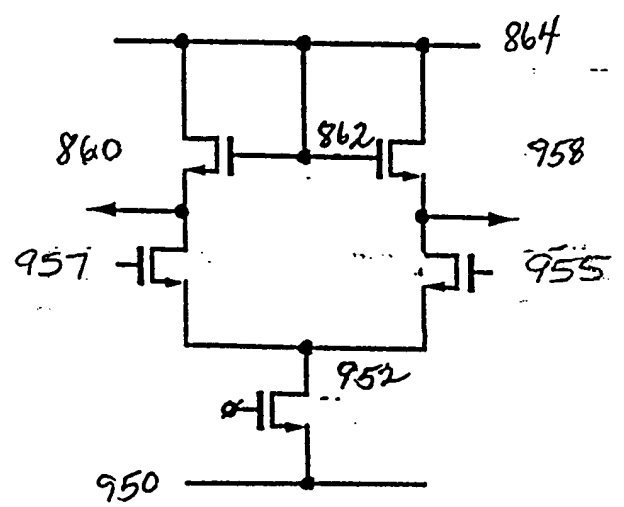


FIG. 16(a)

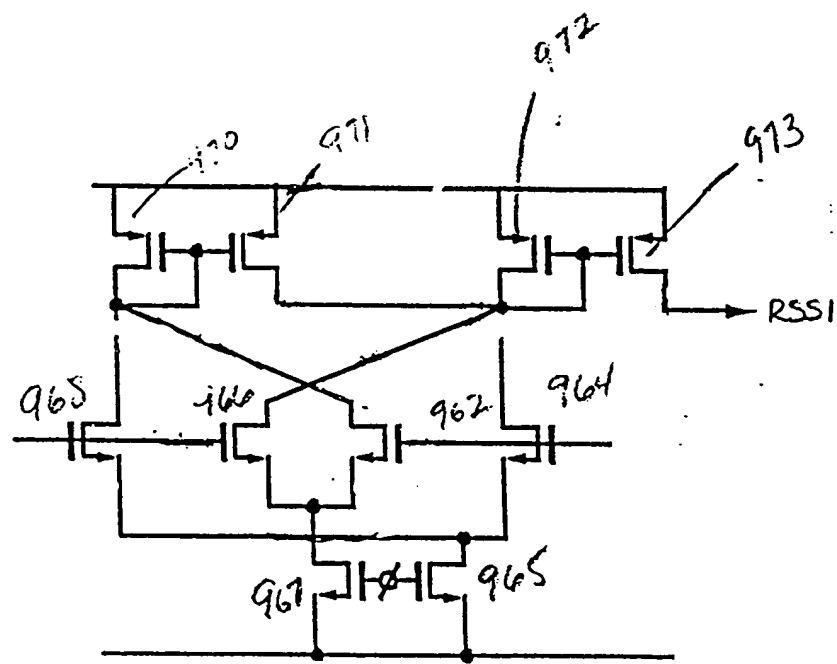


FIG. 16(b)

FIG. 17(a)

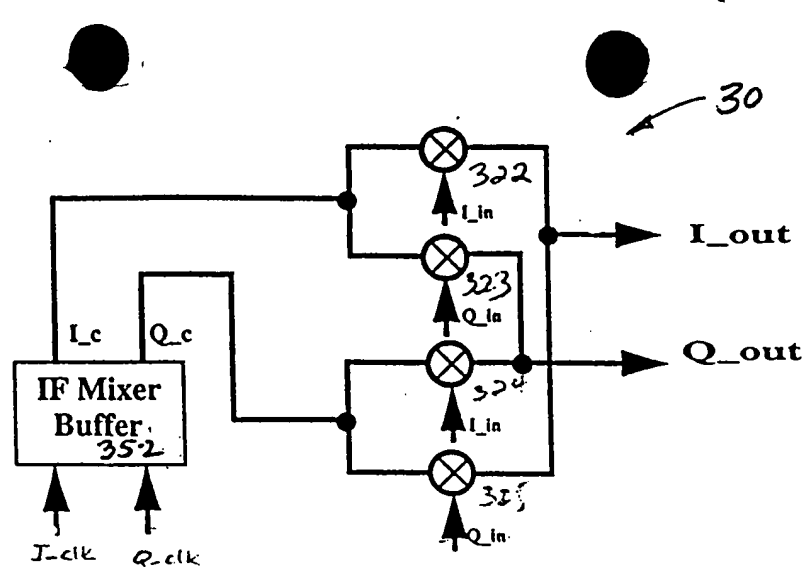
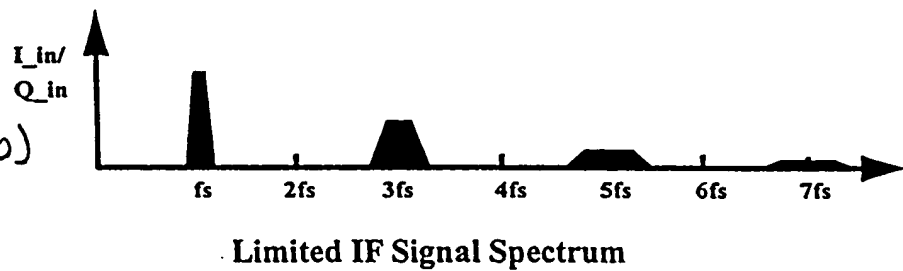
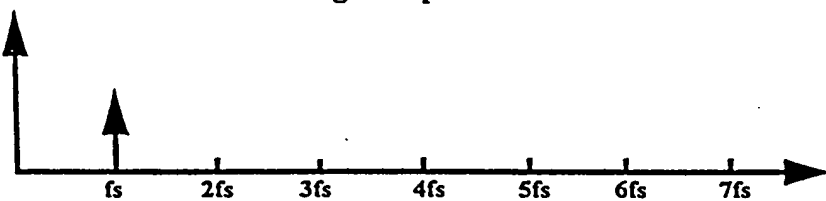


FIG. 17(b)



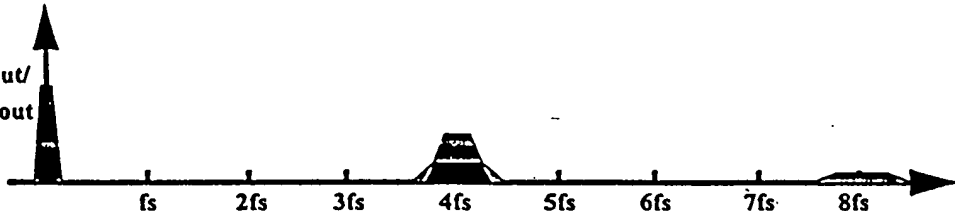
Limited IF Signal Spectrum

FIG. 17(c)



Sinusoidal Input Spectrum

FIG. 17(d)



IF Mixer Output Spectrum

09698498 - 102200

FIG. 18

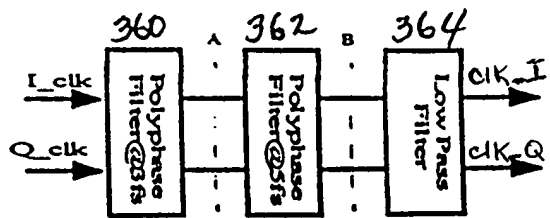


FIG. 19(a)

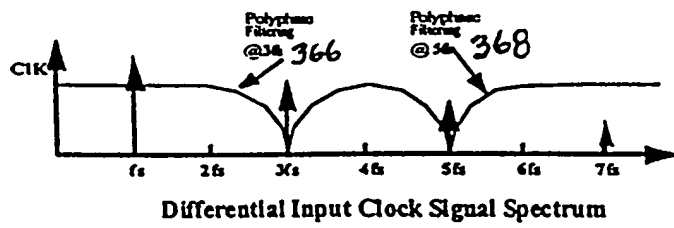


FIG. 19(b)

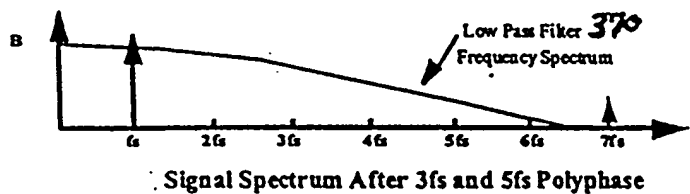


FIG. 19(c)

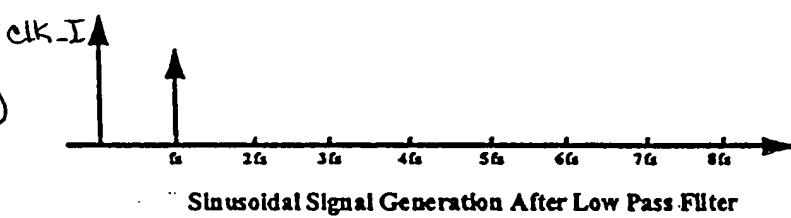


FIG. 19d

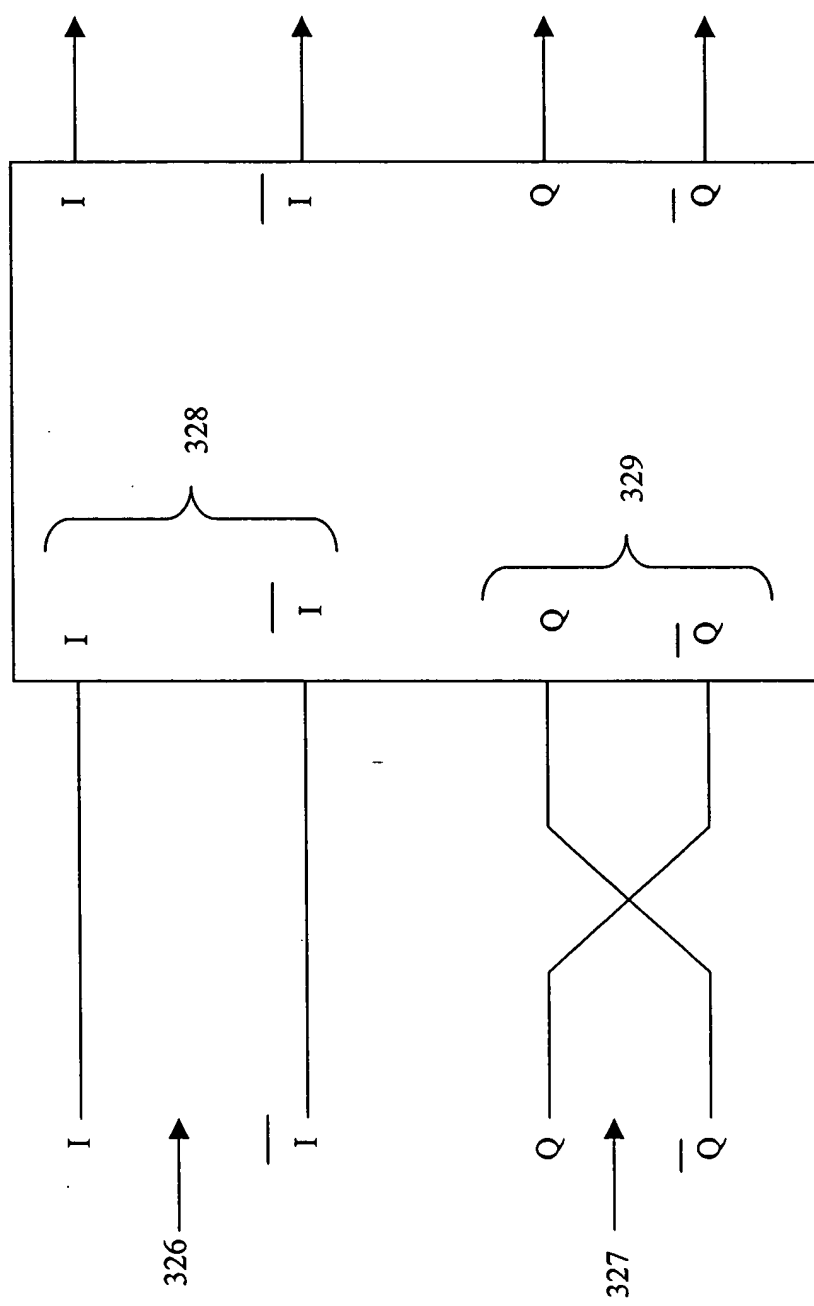


FIG. 19e

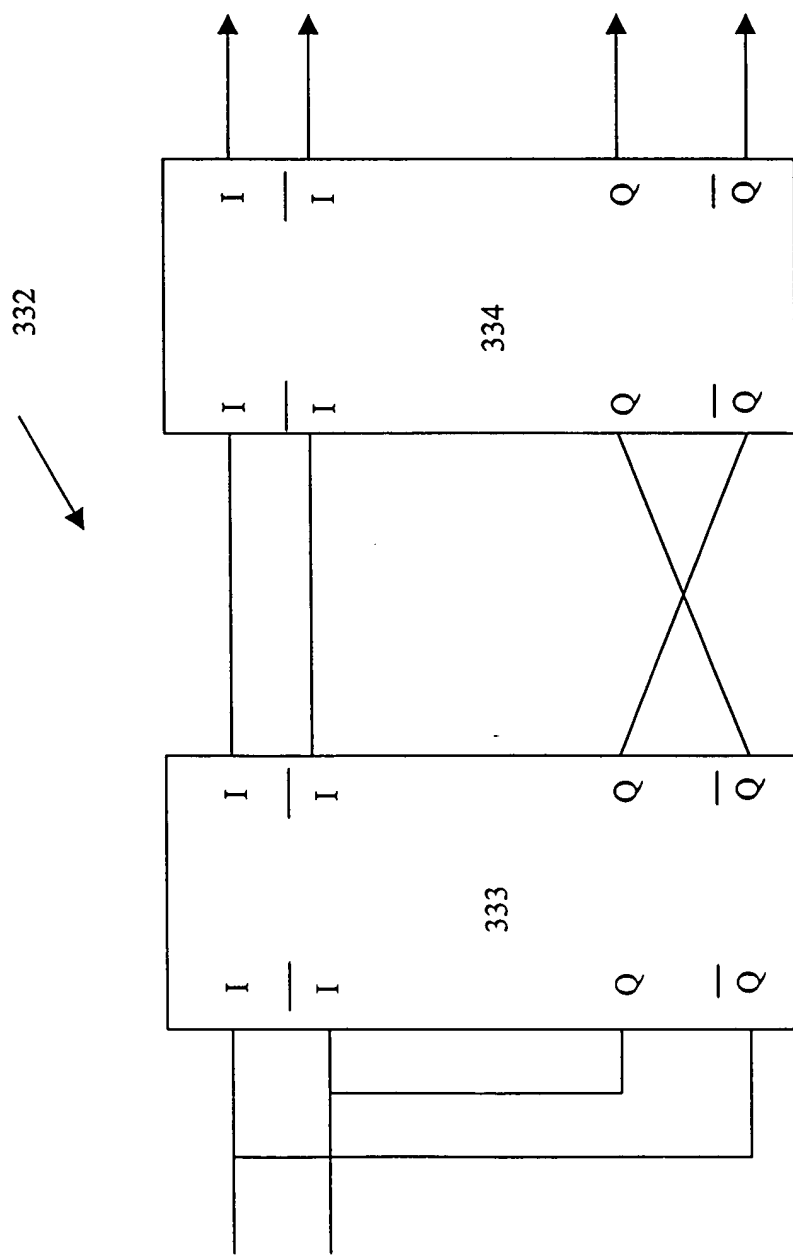


FIG. 19f

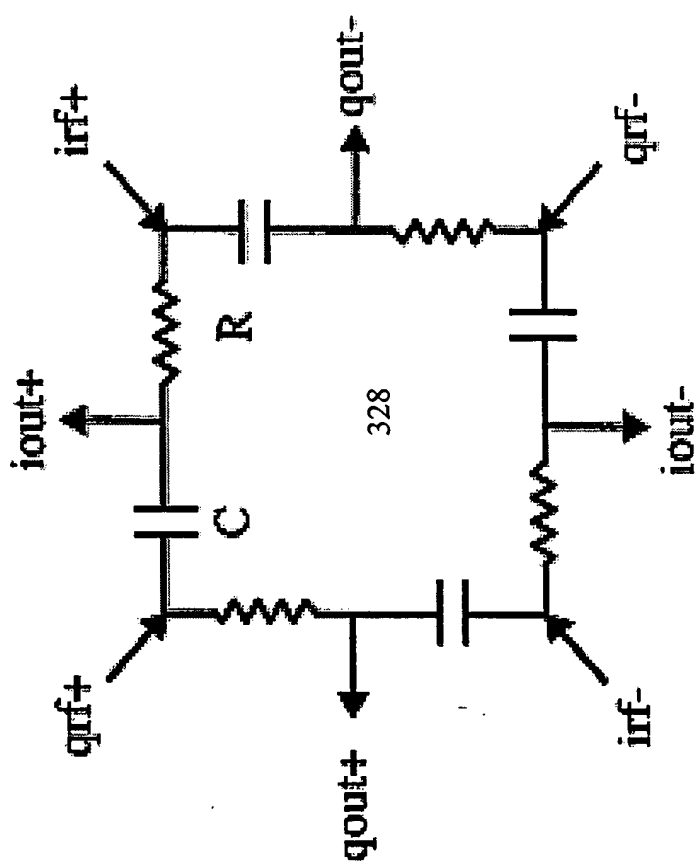
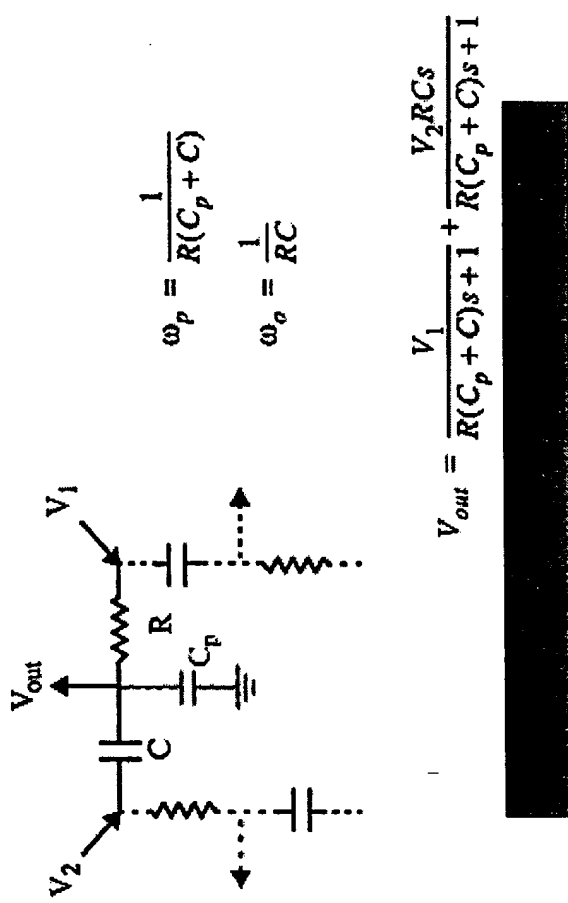


FIG. 19g



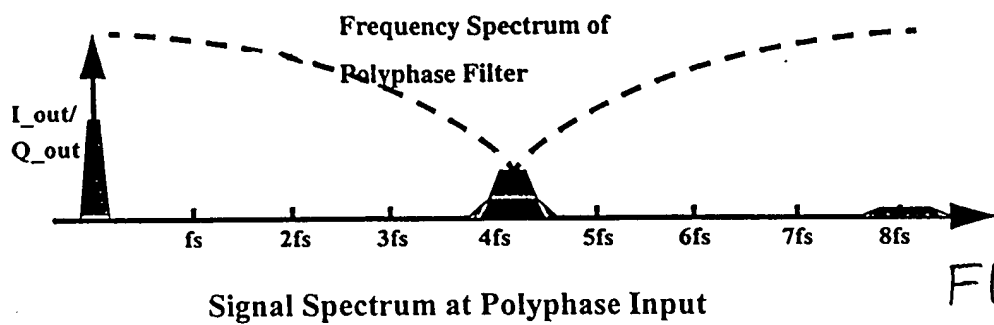


FIG. 20(a)

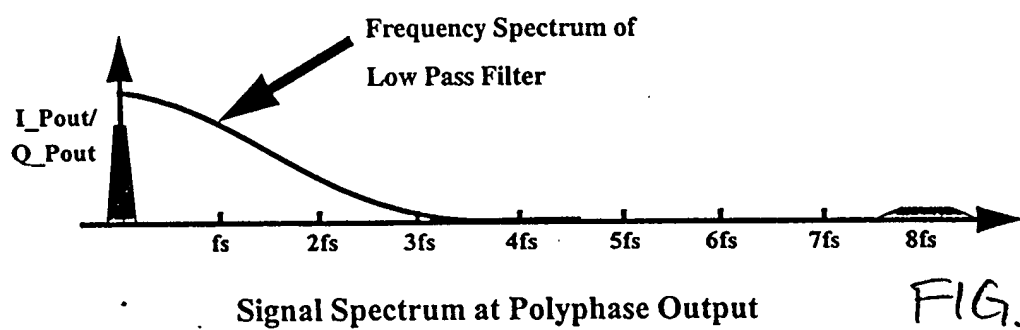


FIG. 20(b)

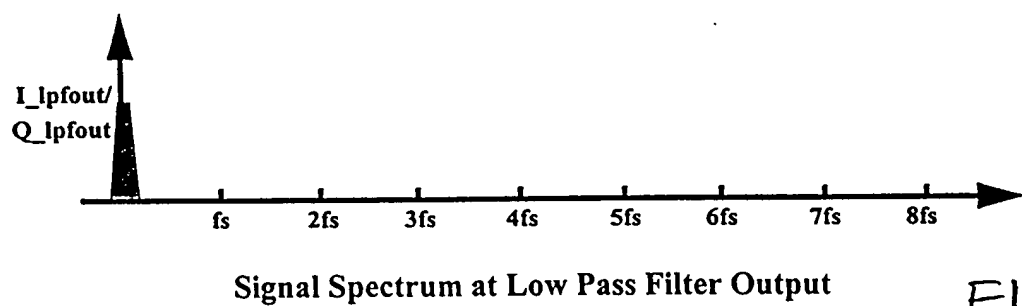


FIG. 20(c)

00220T" 25486960

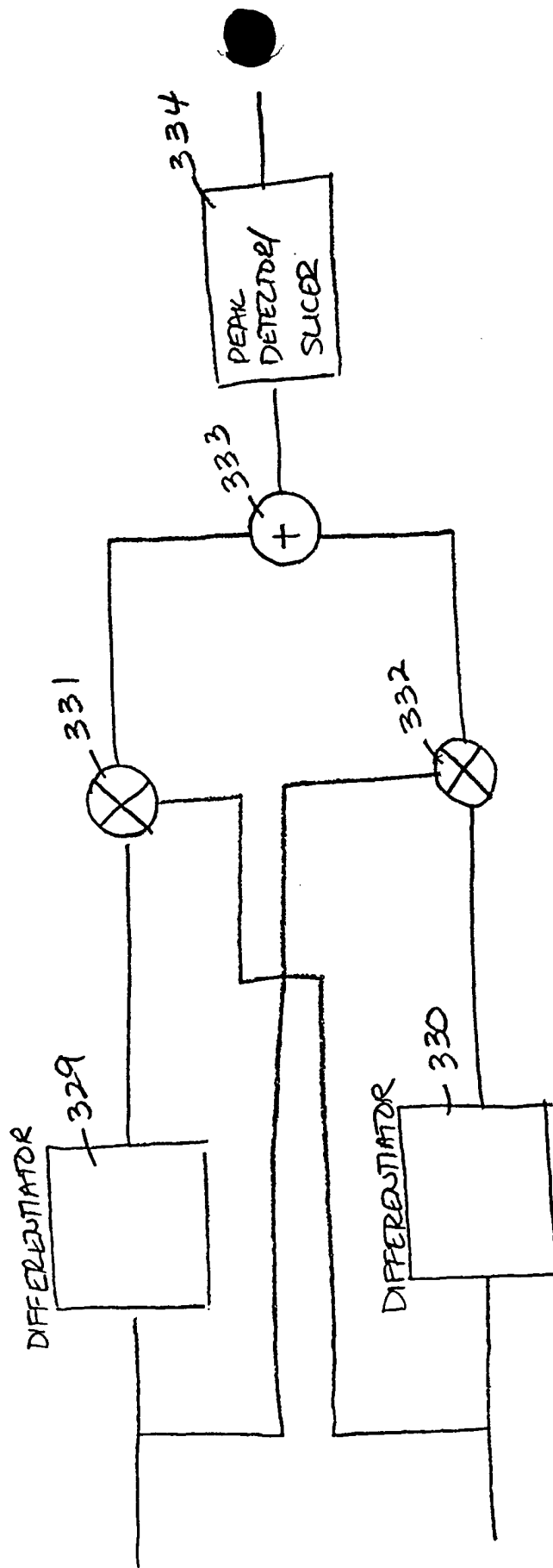


FIG. 21

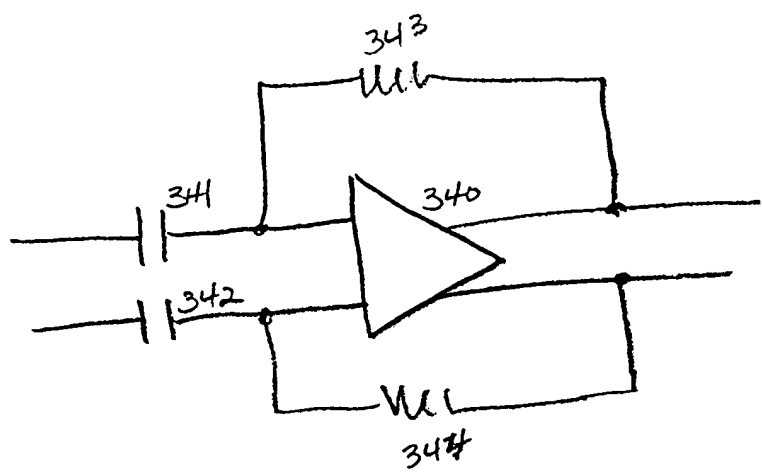


FIGURE 22

00693498 - 1.02700

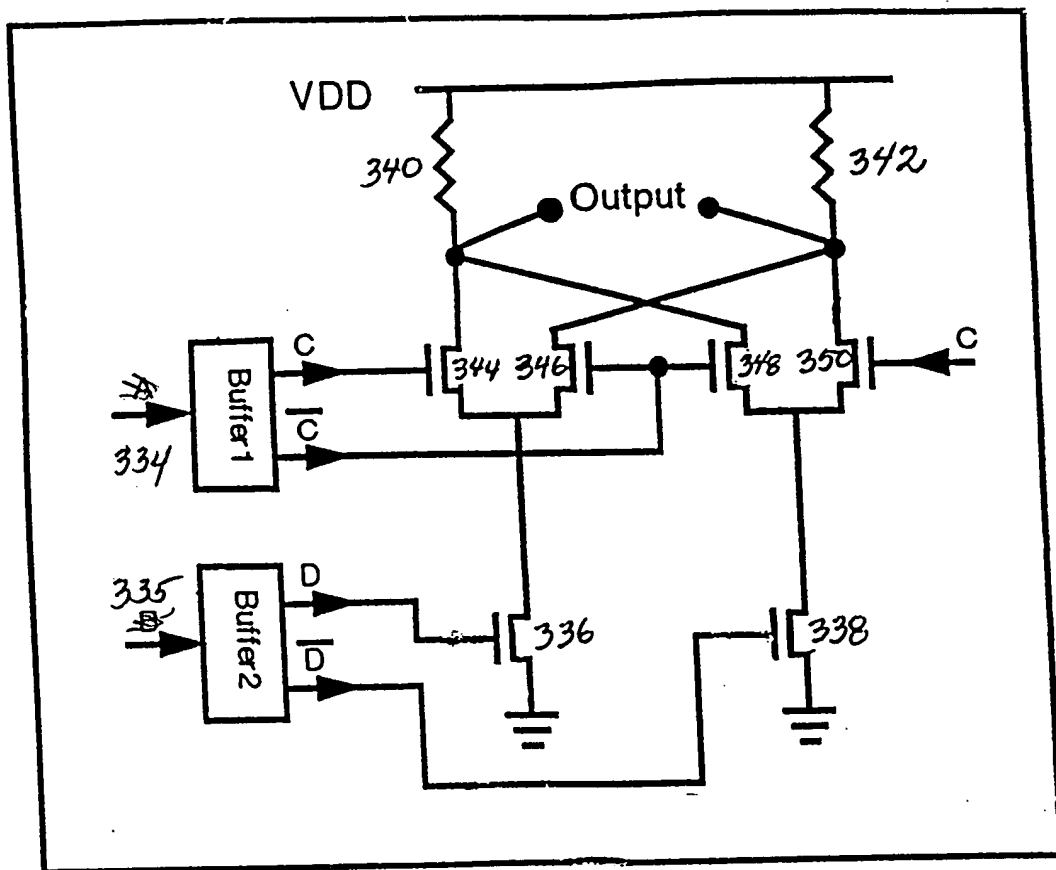
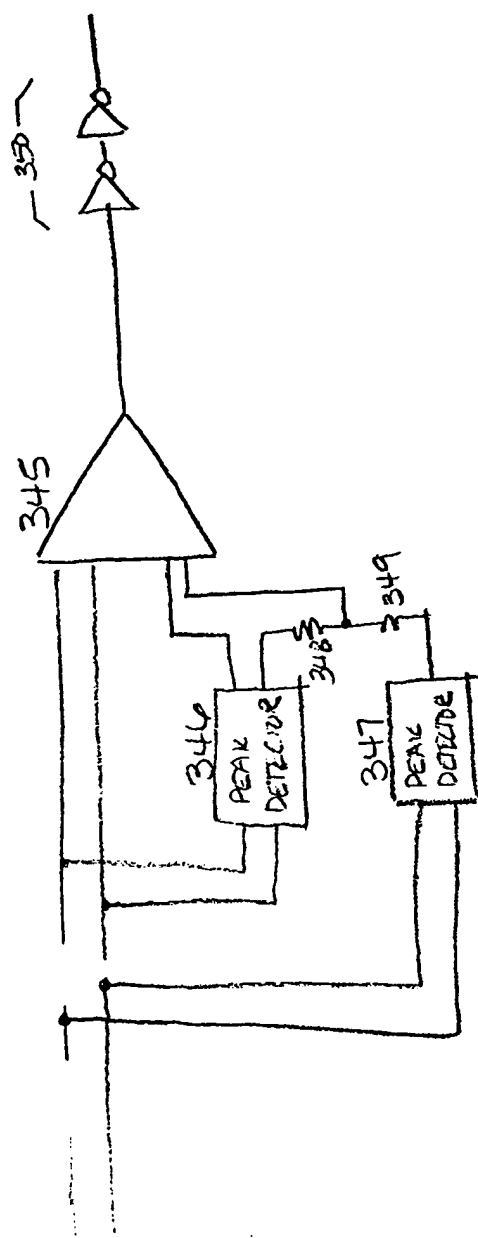


FIG. 23

FIGURE 24



卷之三

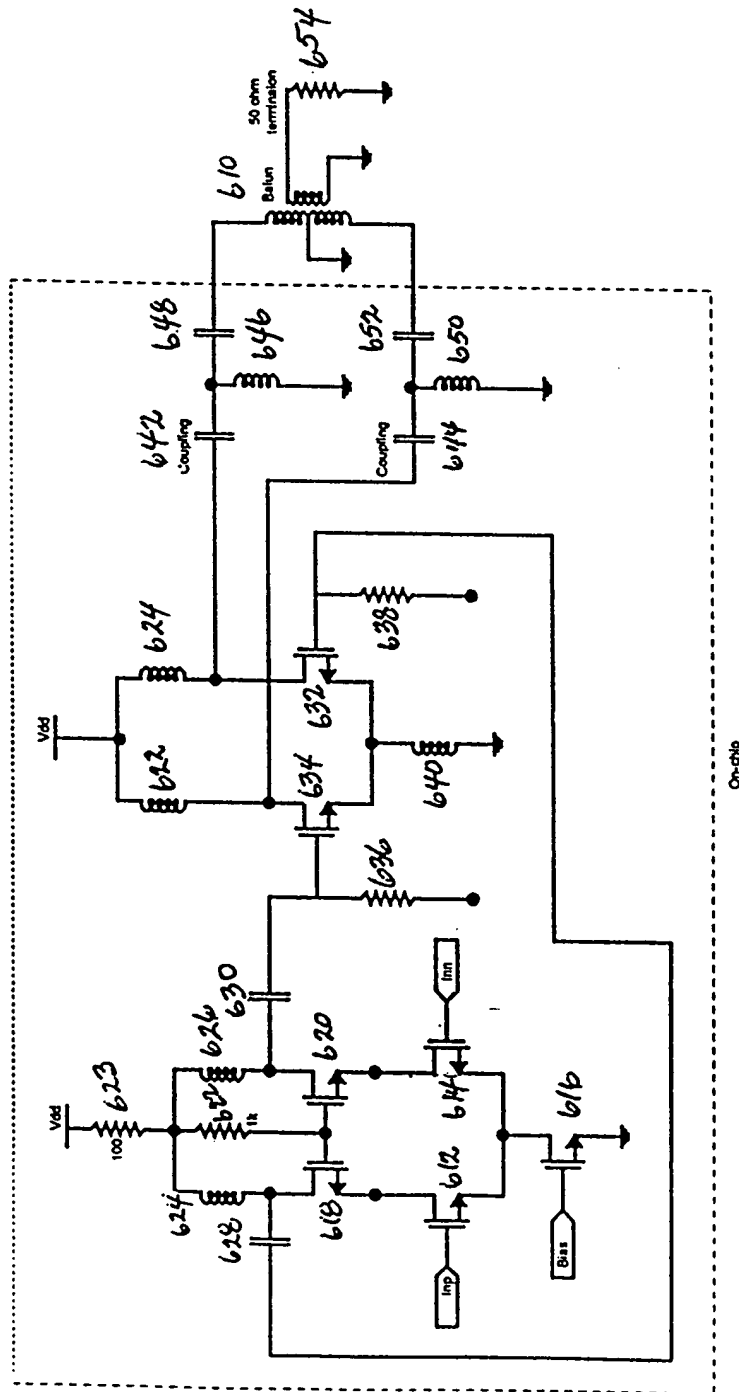


FIG. 25

002201 " 26486950

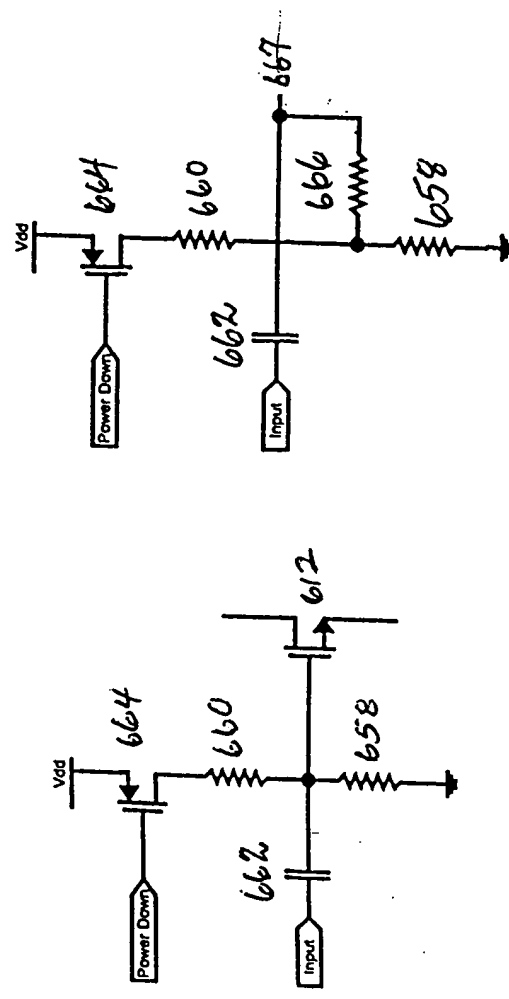


FIG. 26(a)

FIG. 26(b)

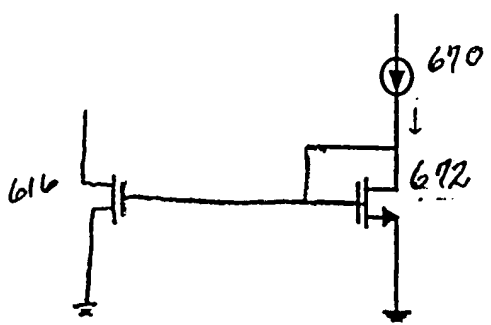


FIG. 27

05698498 - 1022700

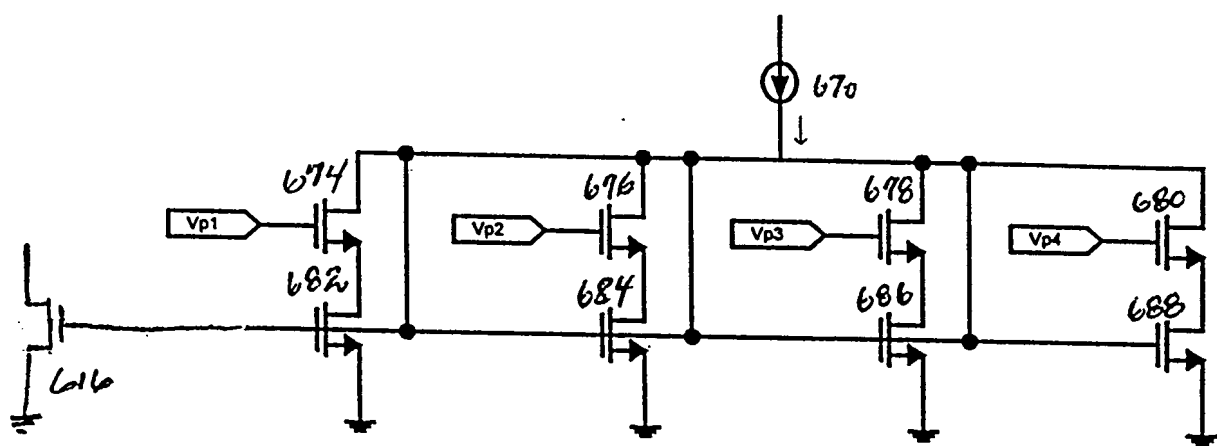


FIG. 28

0022017-26406960

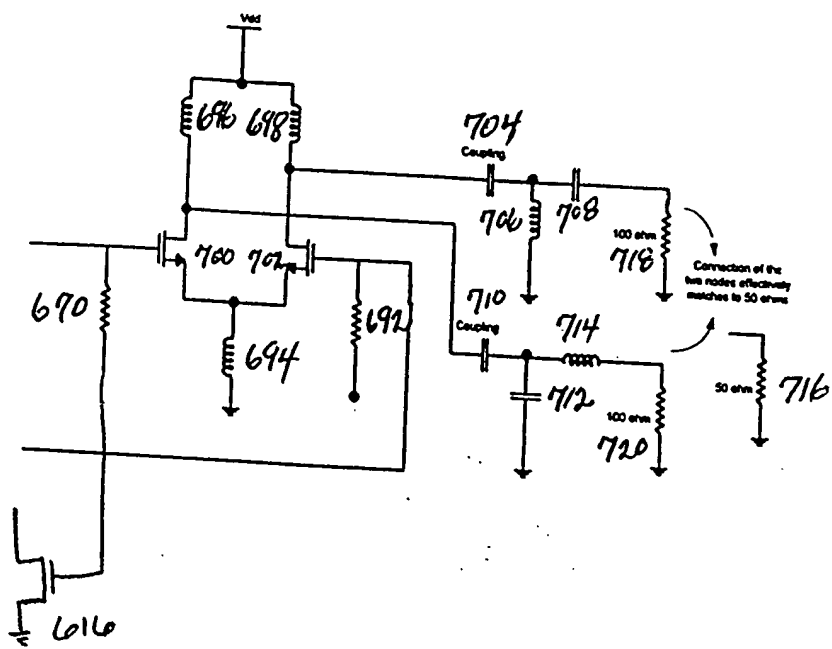


FIG. 29

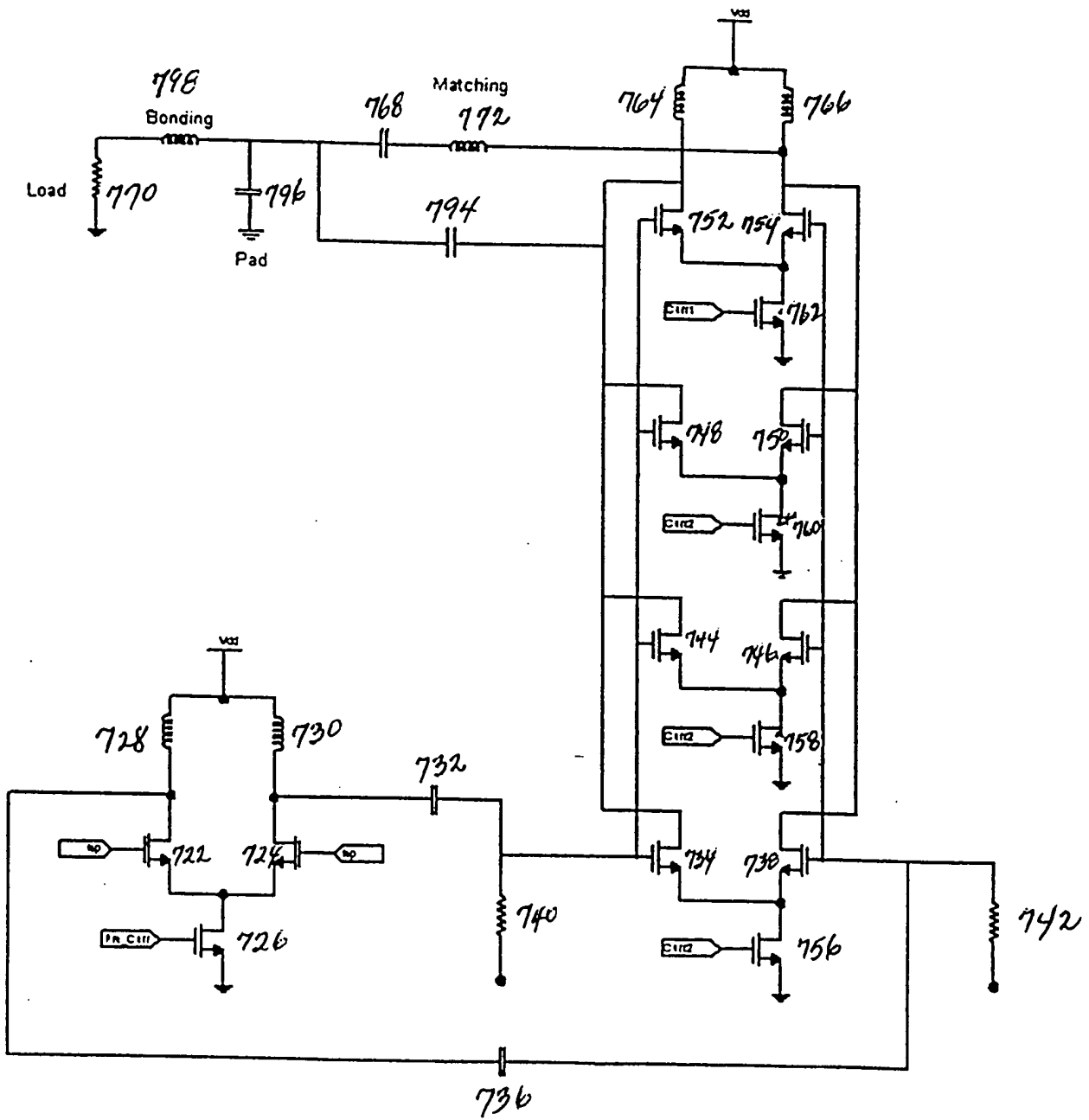
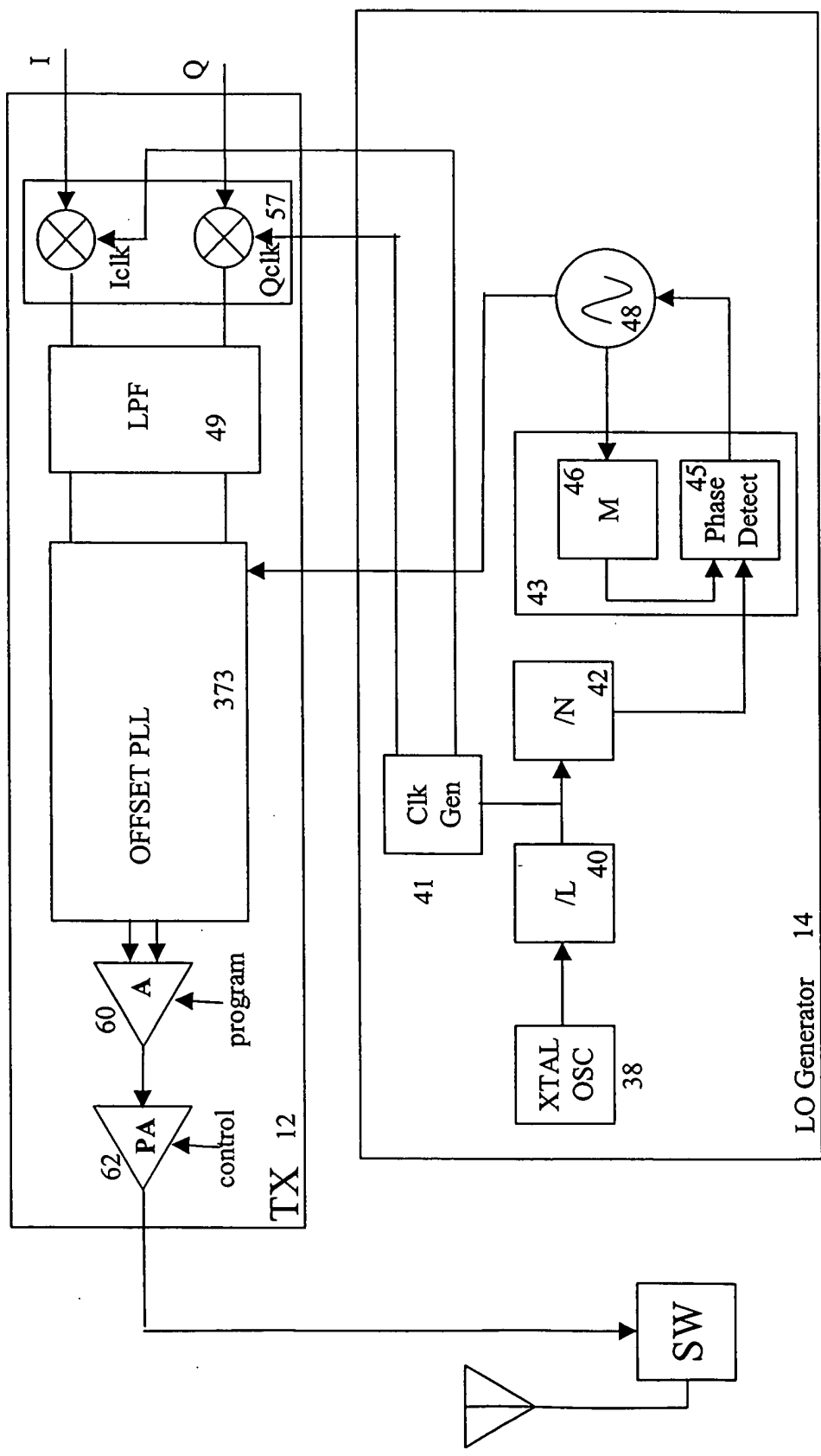


FIG. 30A

FIG. 30b



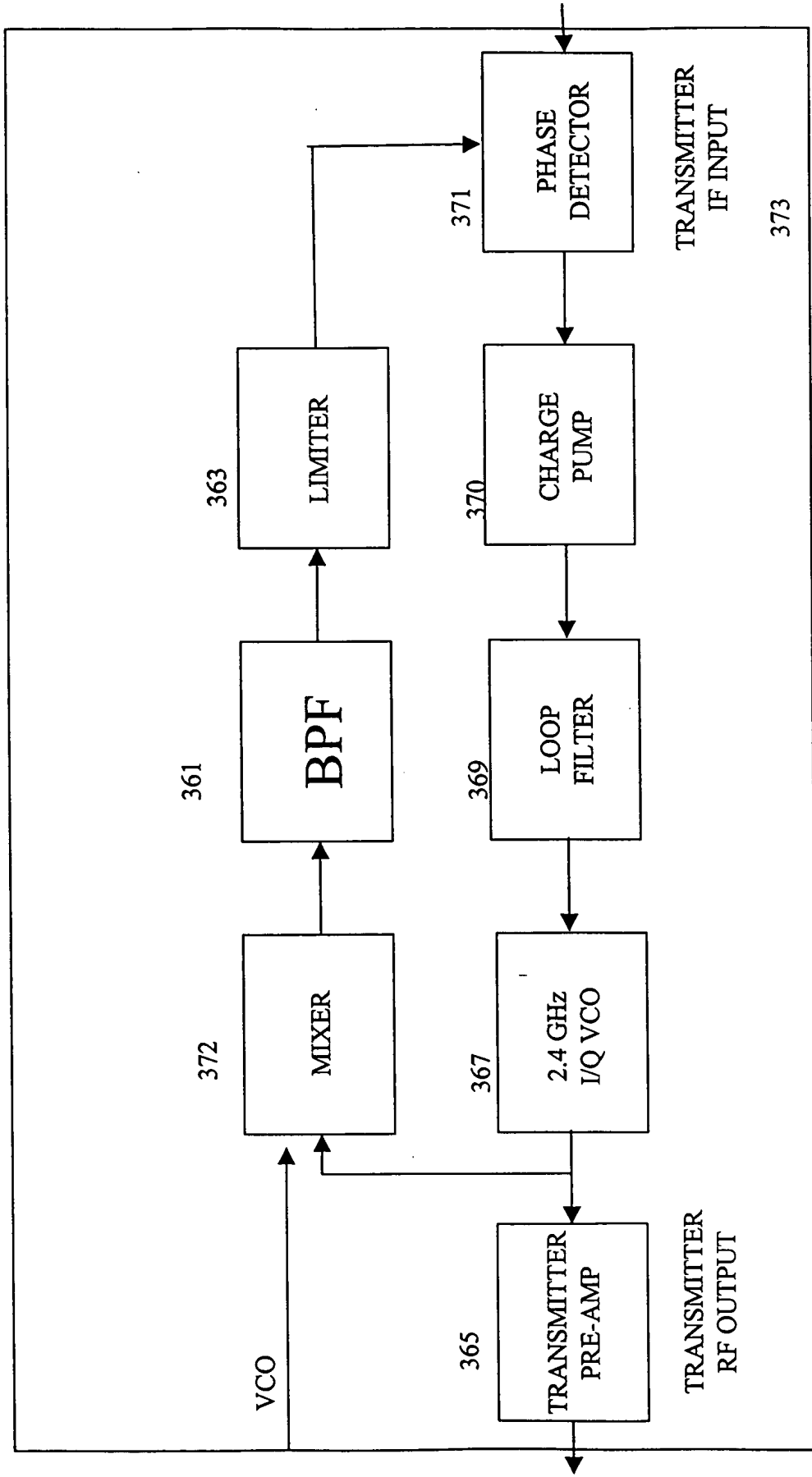


FIG. 30c

FIG. 30d

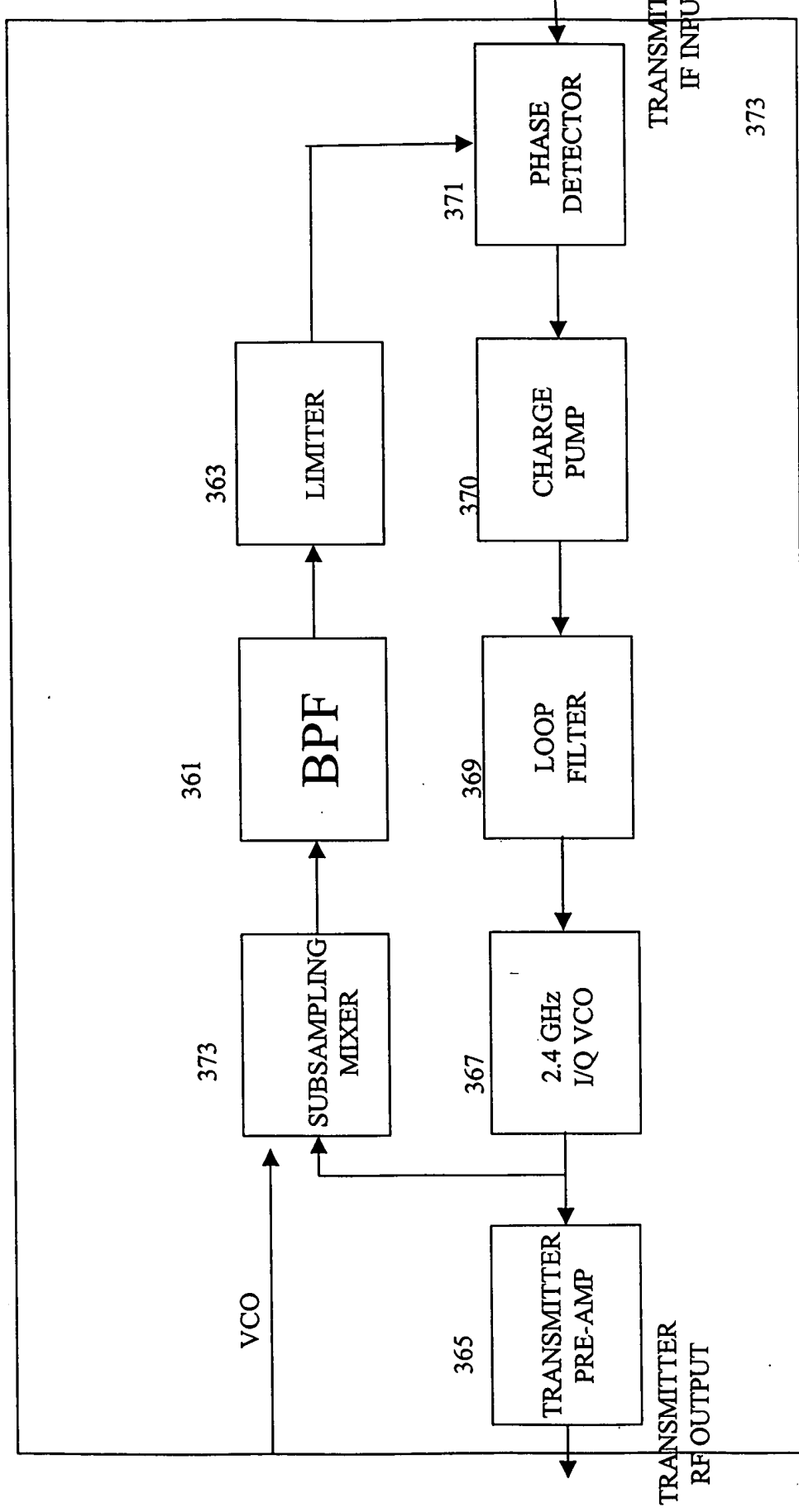


FIG. 36f

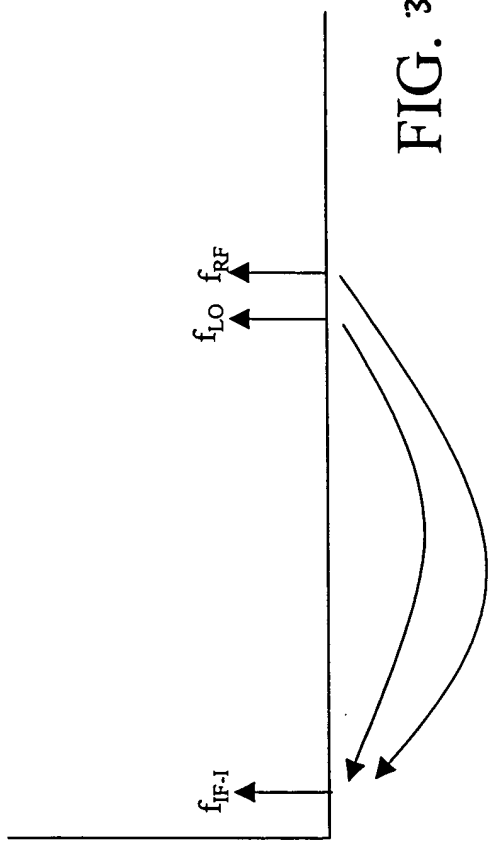


FIG. 36g

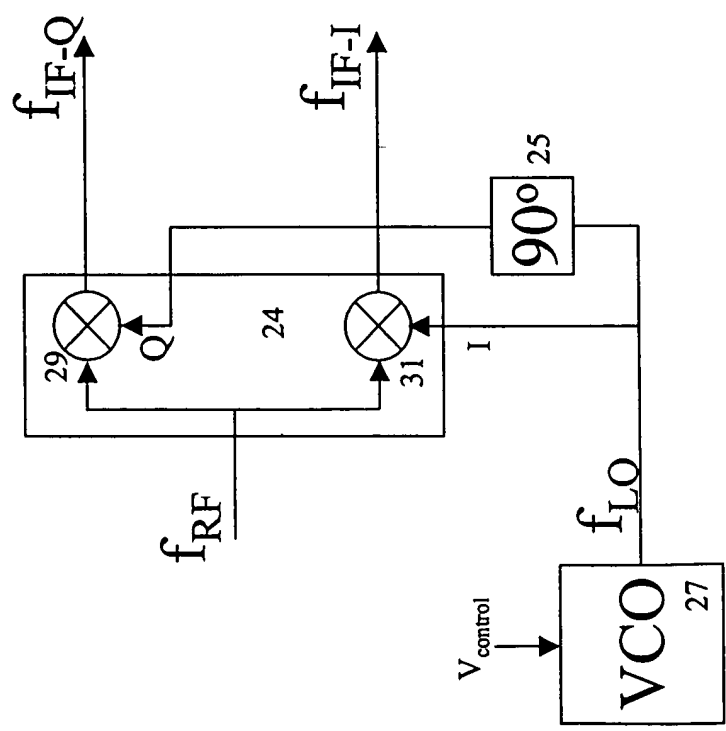
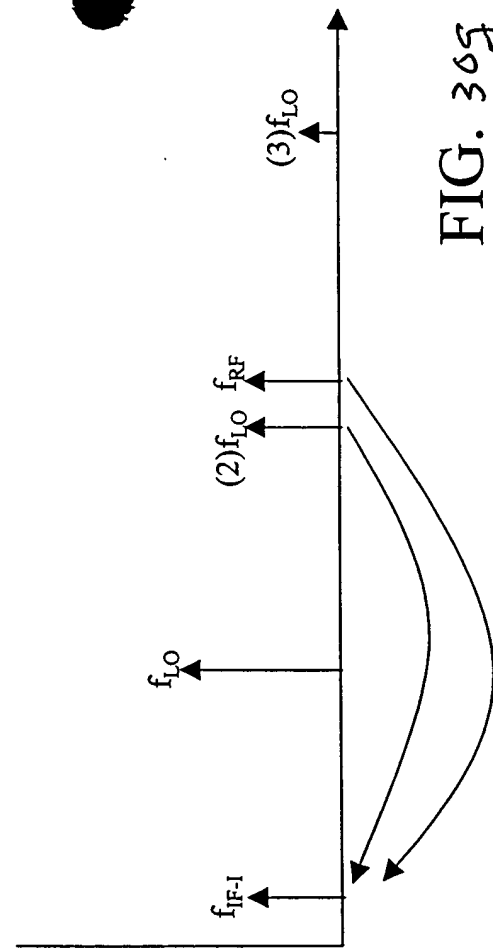
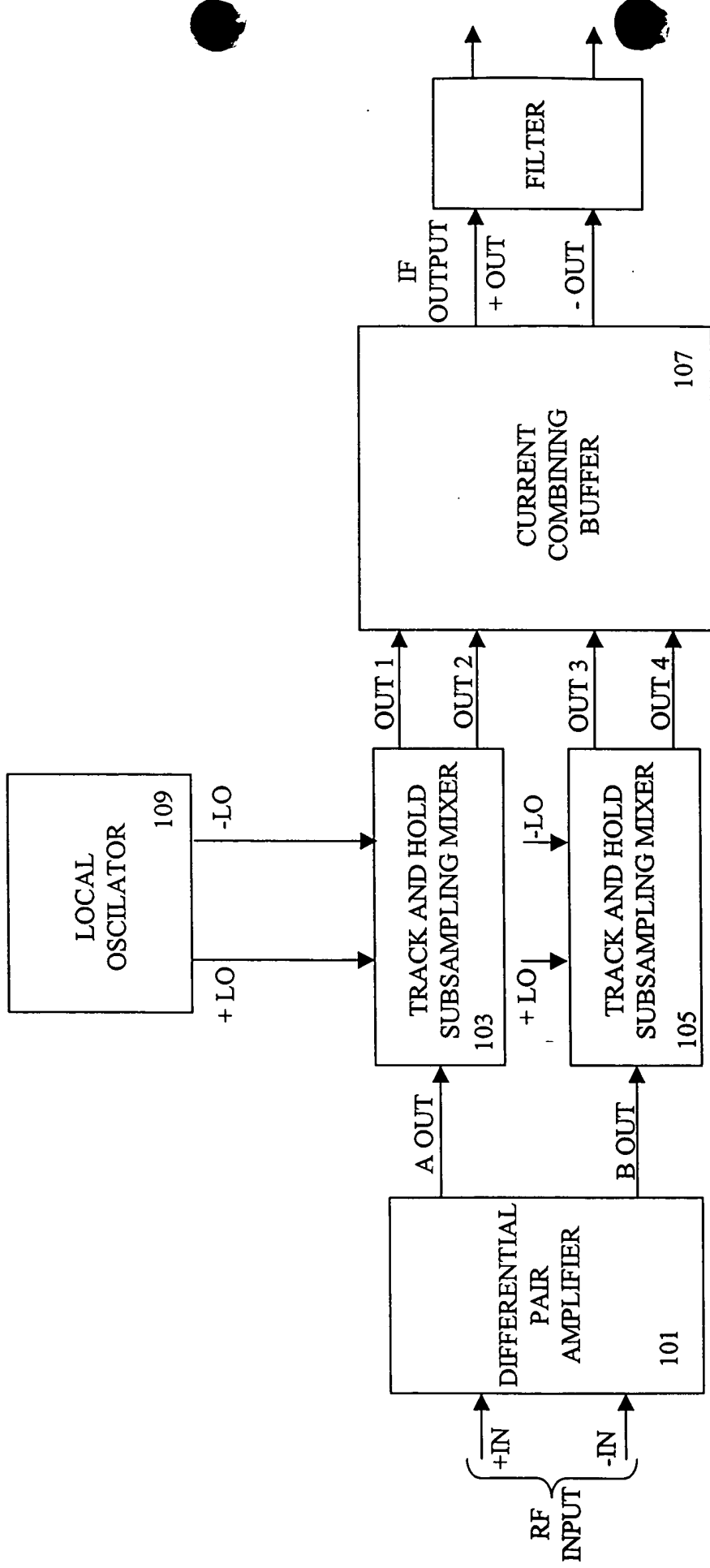


FIG. 36e

FIG. 30k



111

FIG. 30λ

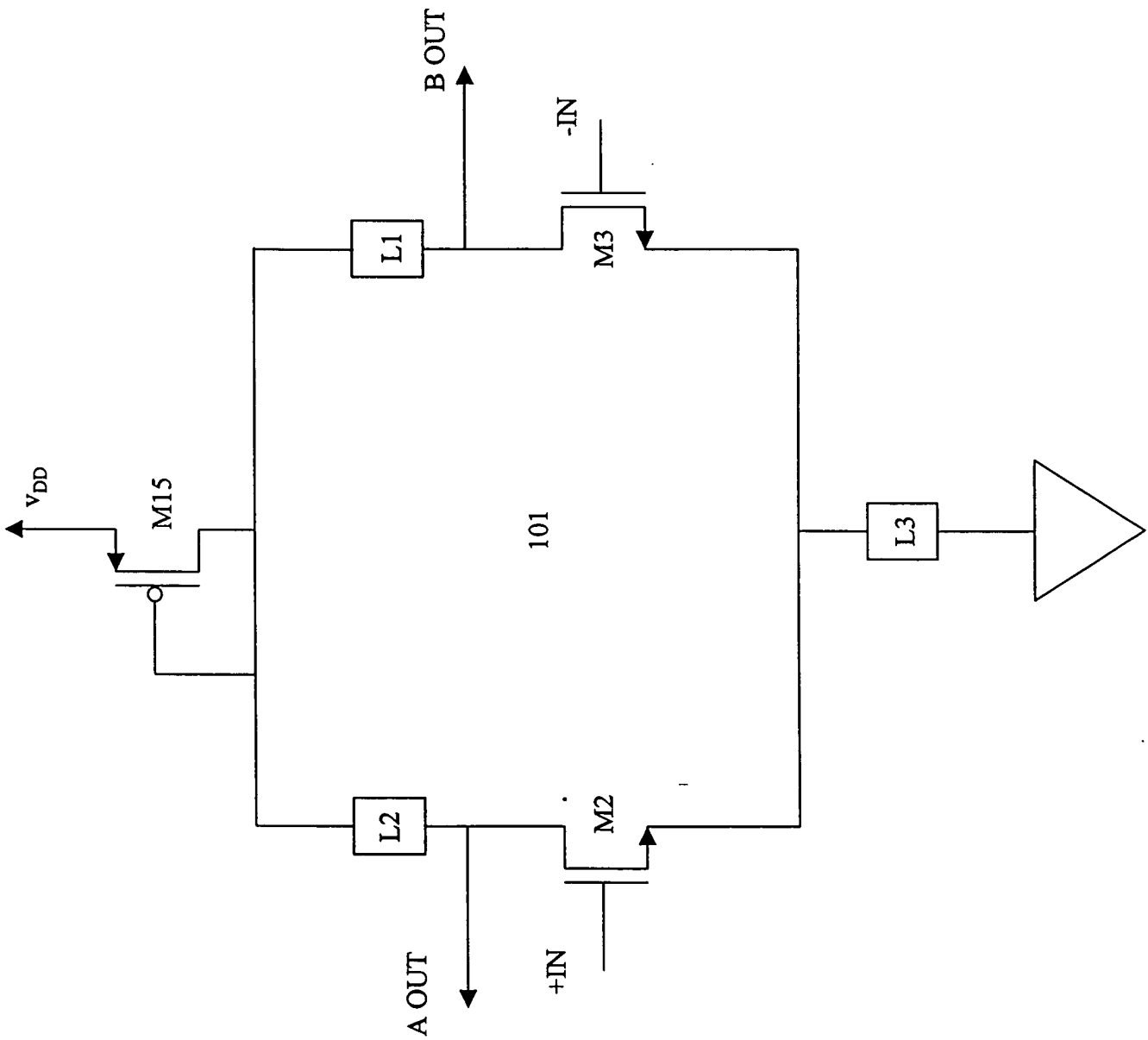
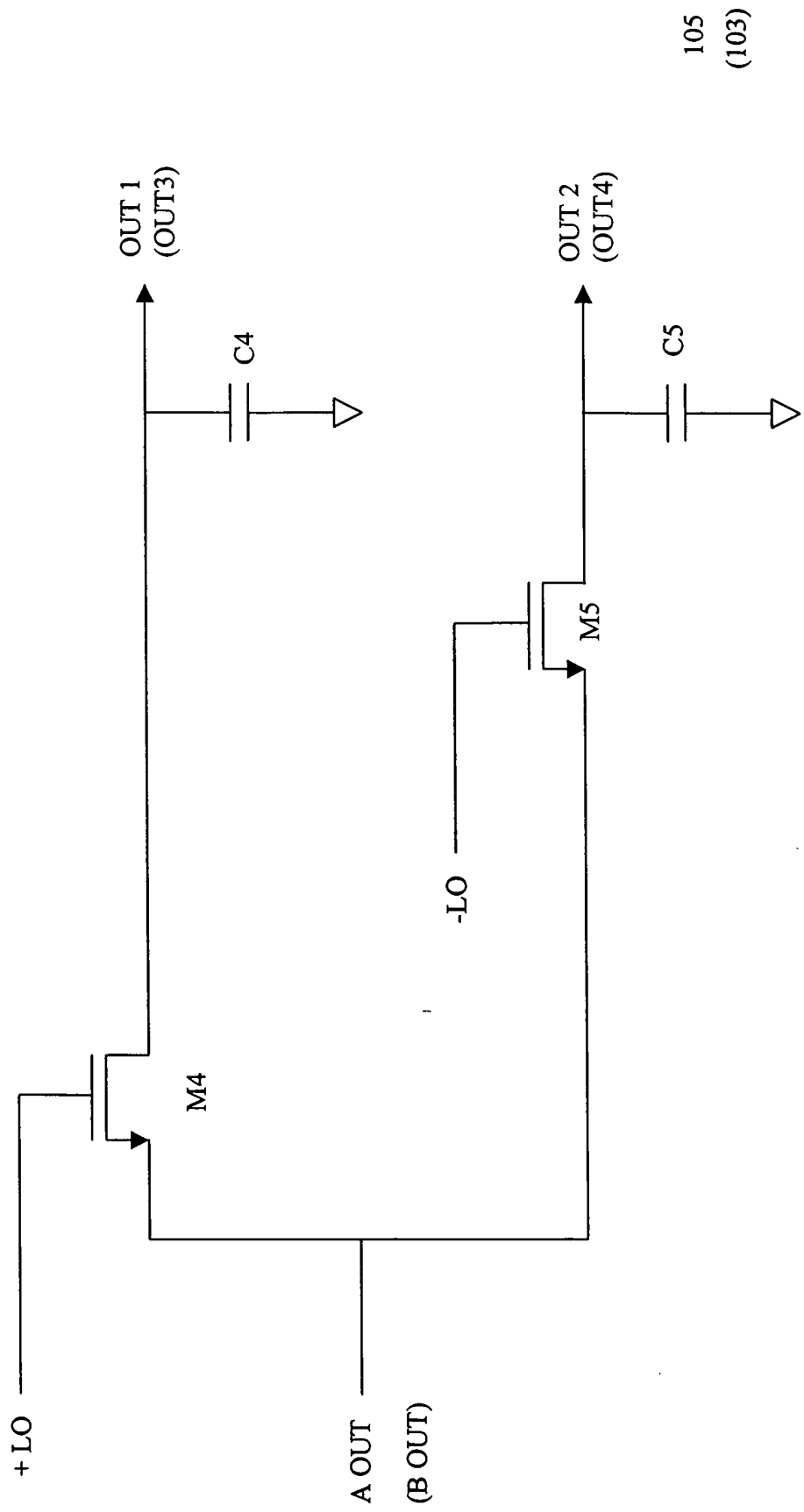


FIG. 30j



© 2010 Pearson Education, Inc.

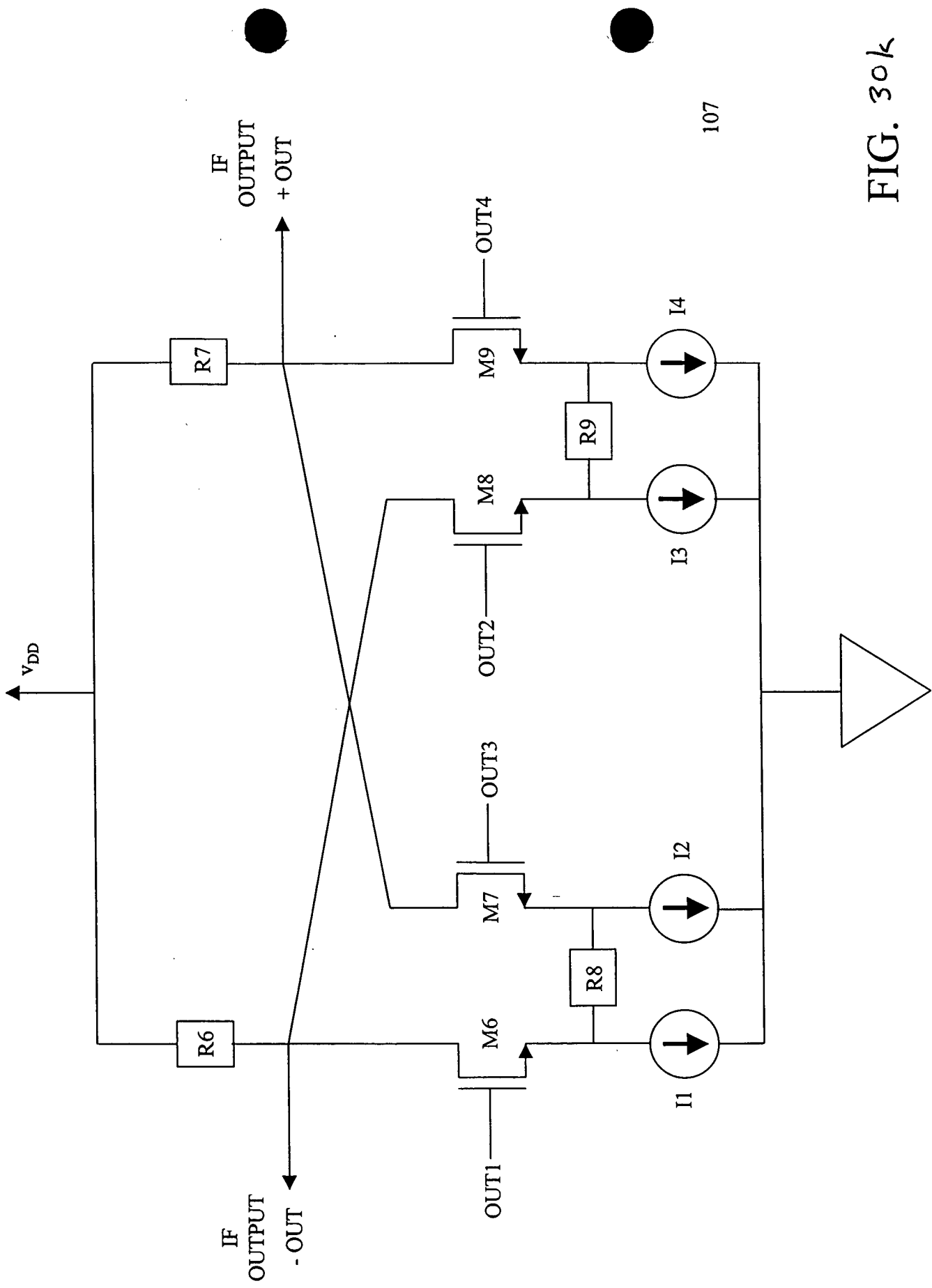
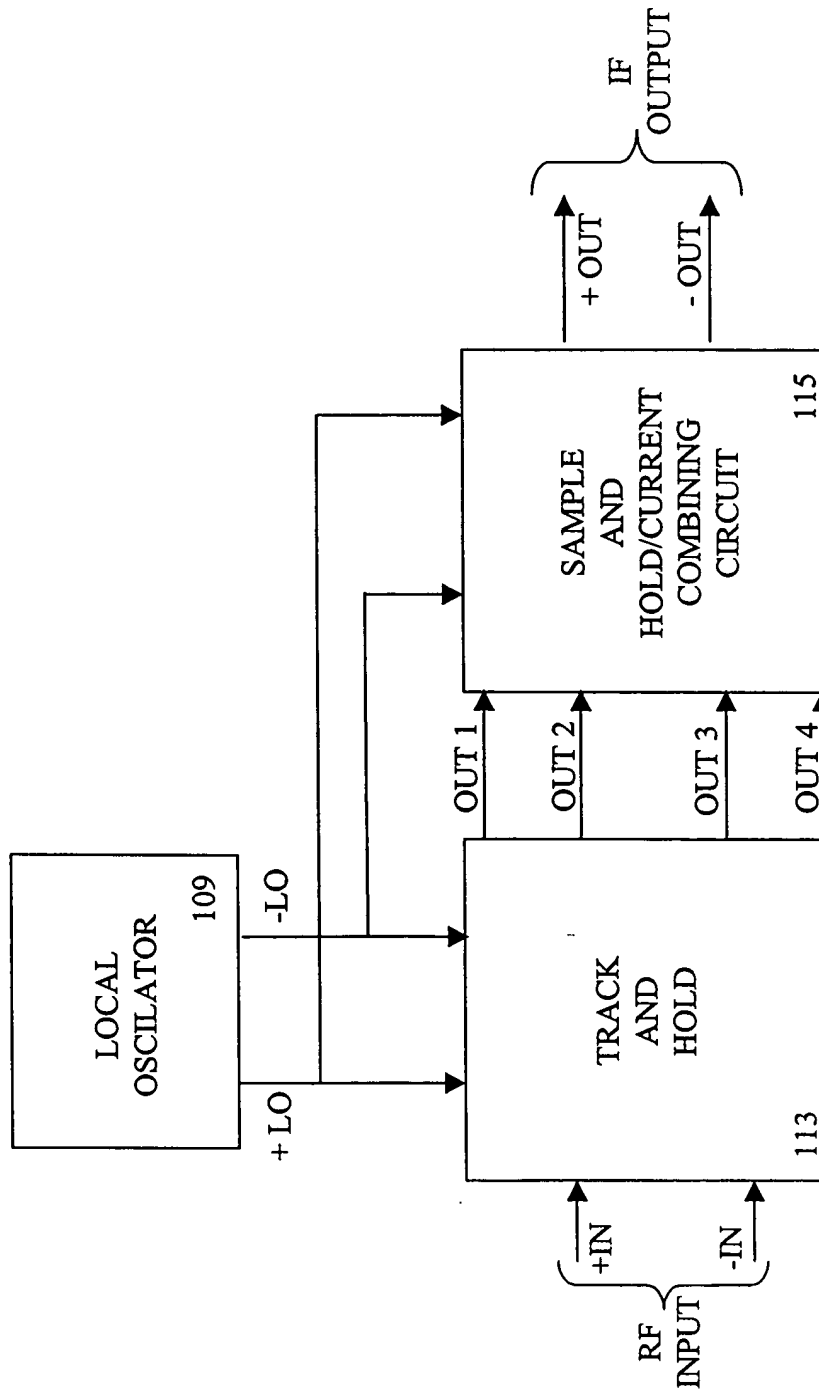


FIG. 30k

107



111

FIG. 50L



FIG. 30.m

FIG. 30h

115

© 2010 TUTORIALS & NOTES

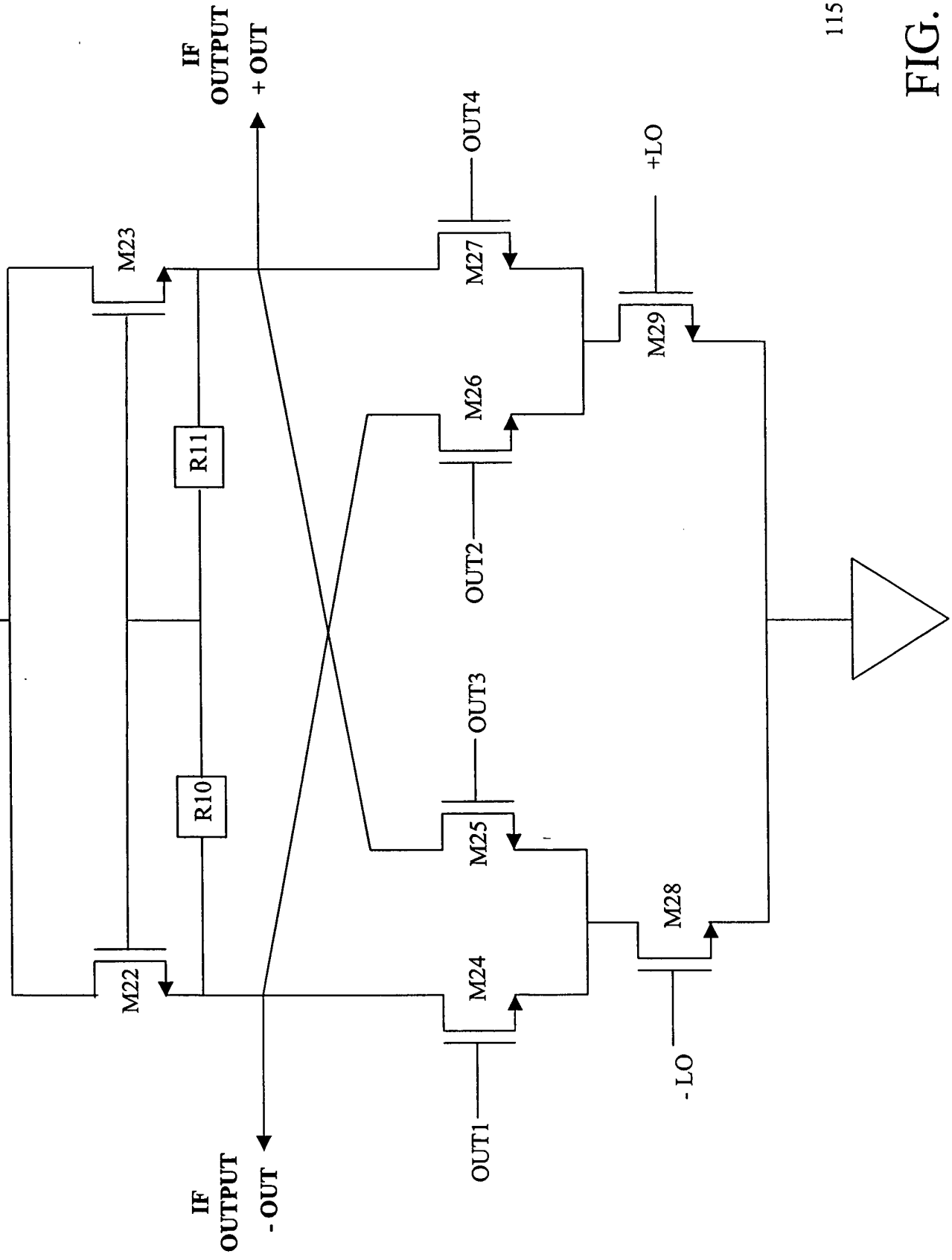


FIG. 31 (b)

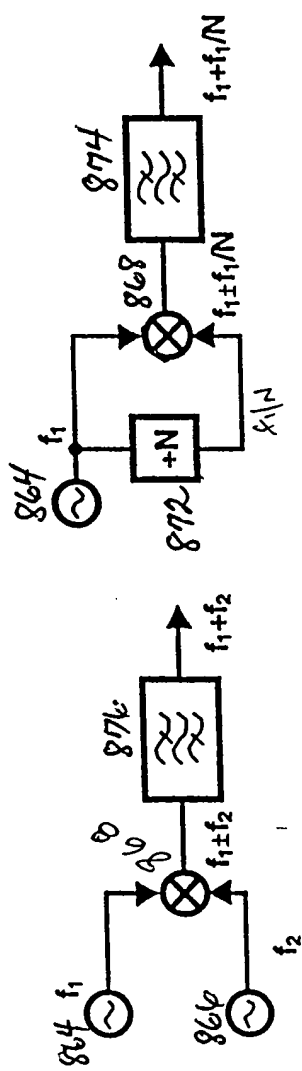


FIG. 31 (a)

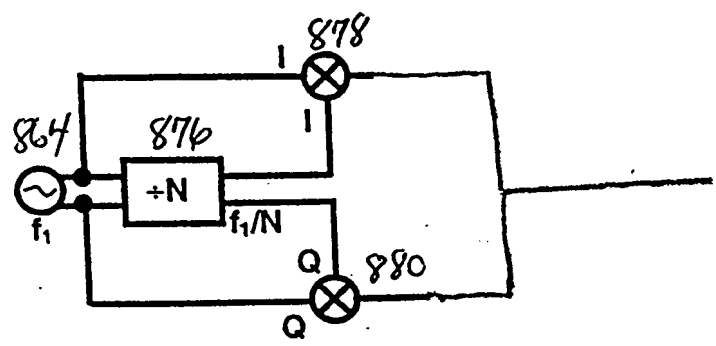


FIG. 32

卷之三

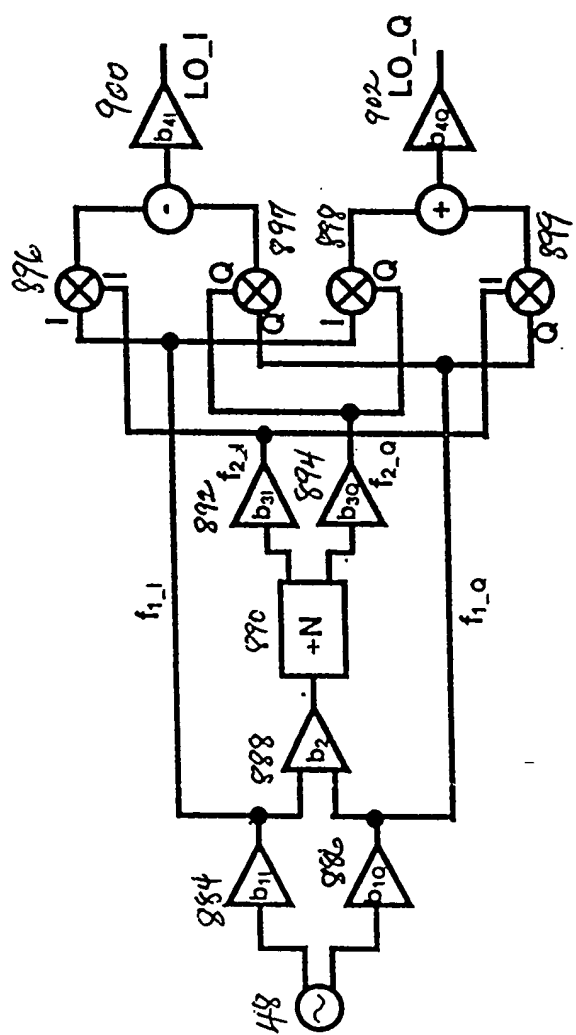


FIG. 33(a)

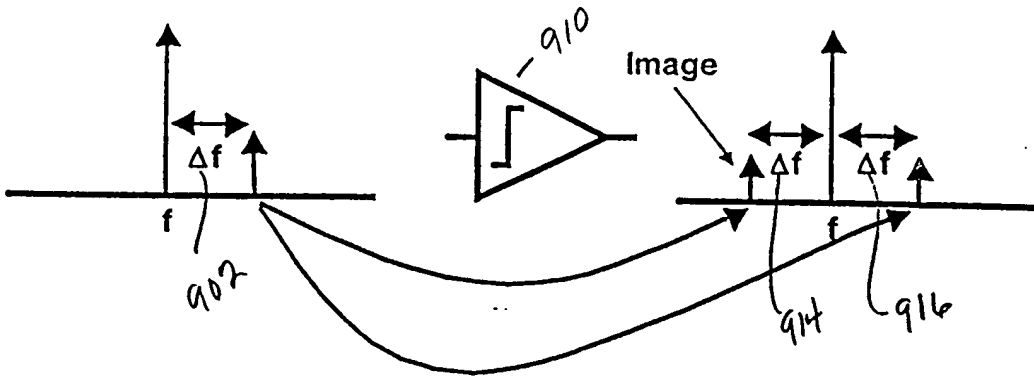


FIG. 33(b)

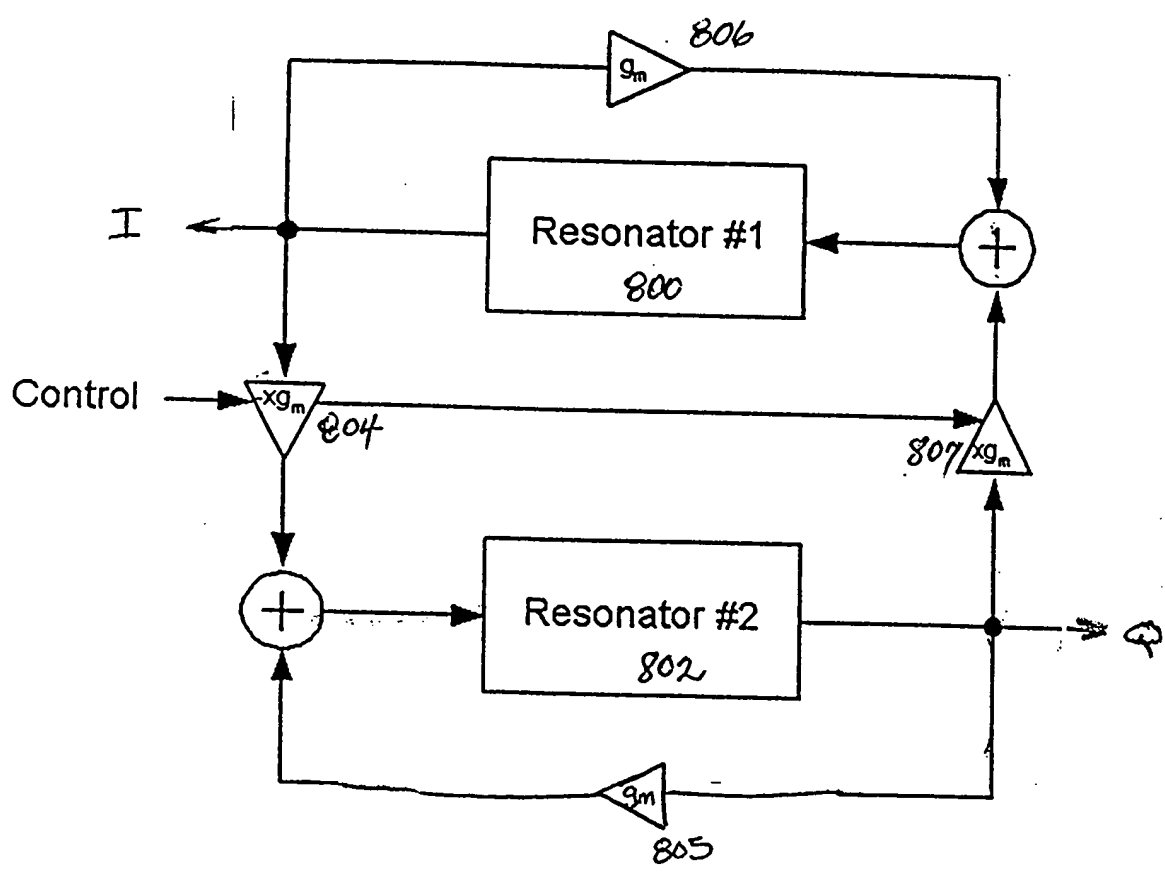


FIG. 34

002200 "102200

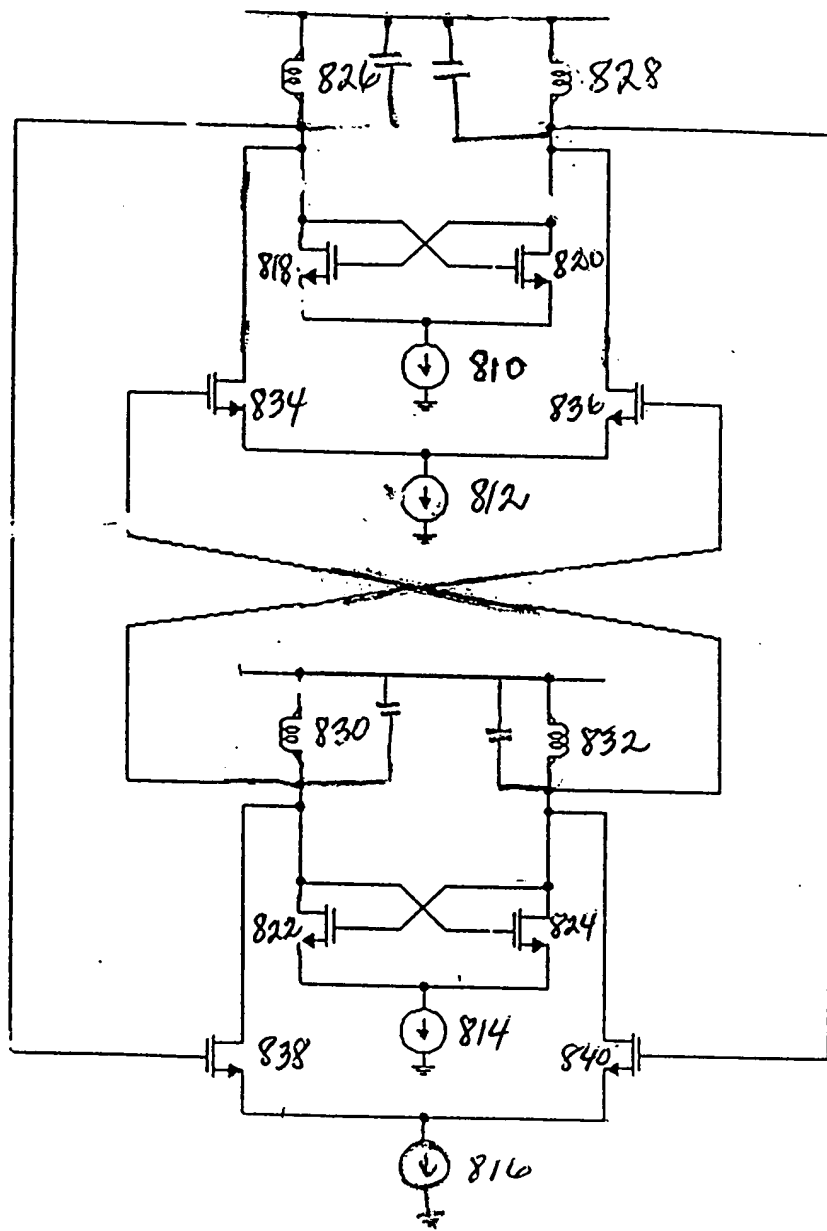


FIG. 35

FIG. 36(b)

Segmented VCO Tuning Curve

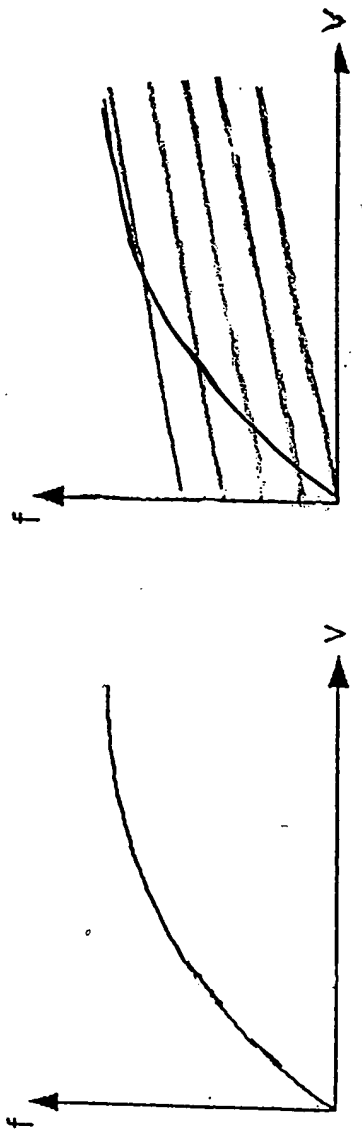


FIG. 36(a)

Typical VCO Tuning Curve

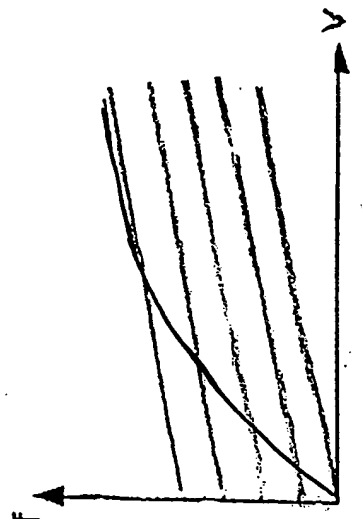


FIG. 37(a)

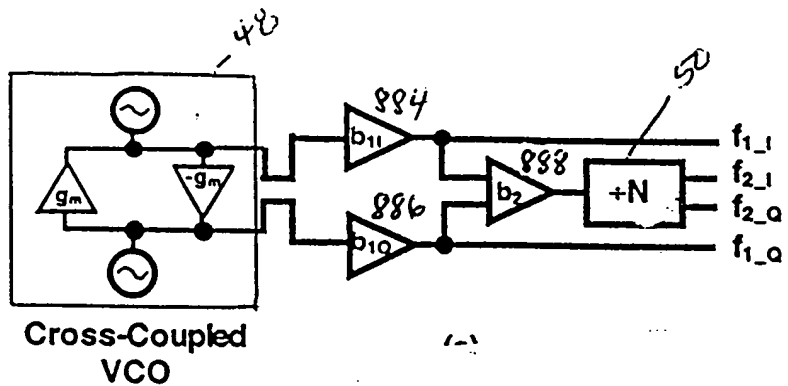
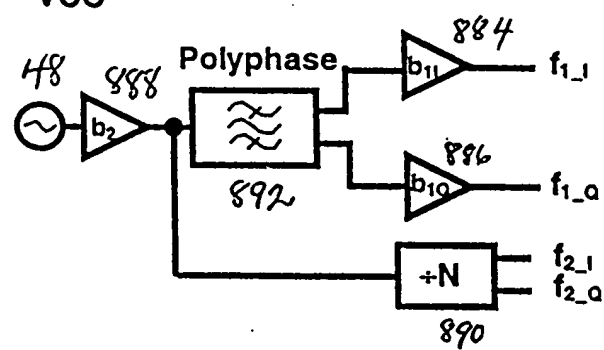
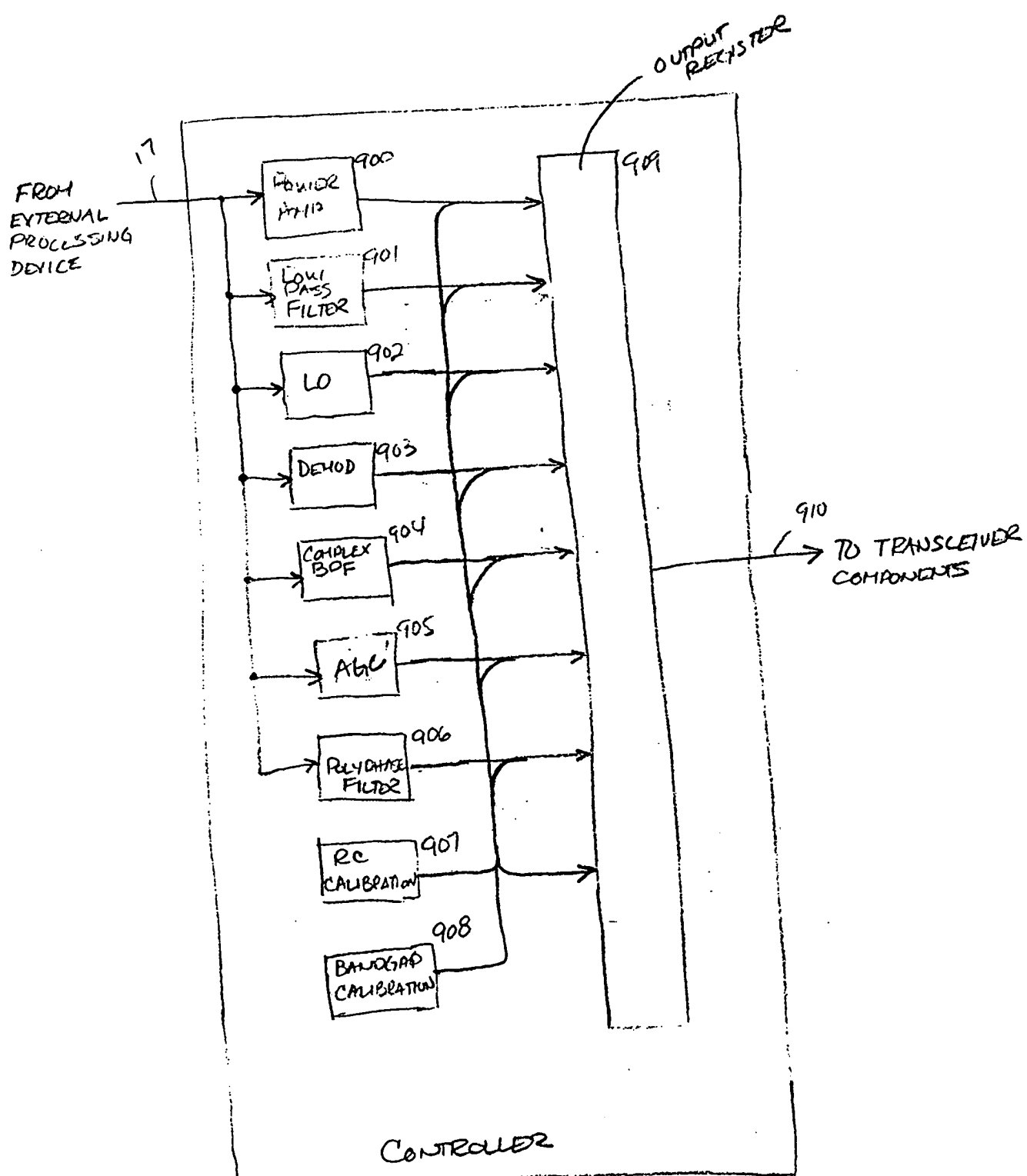


FIG. 37(b)



100 220 111-18641865960



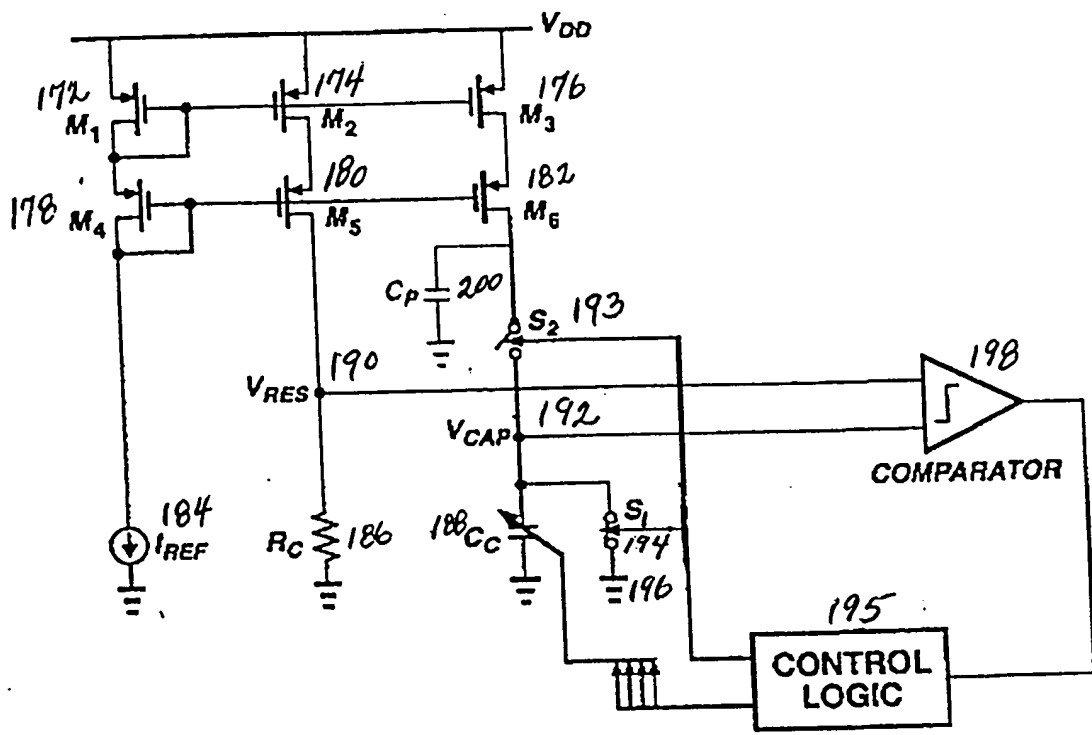


FIG.39

00220T 86486960

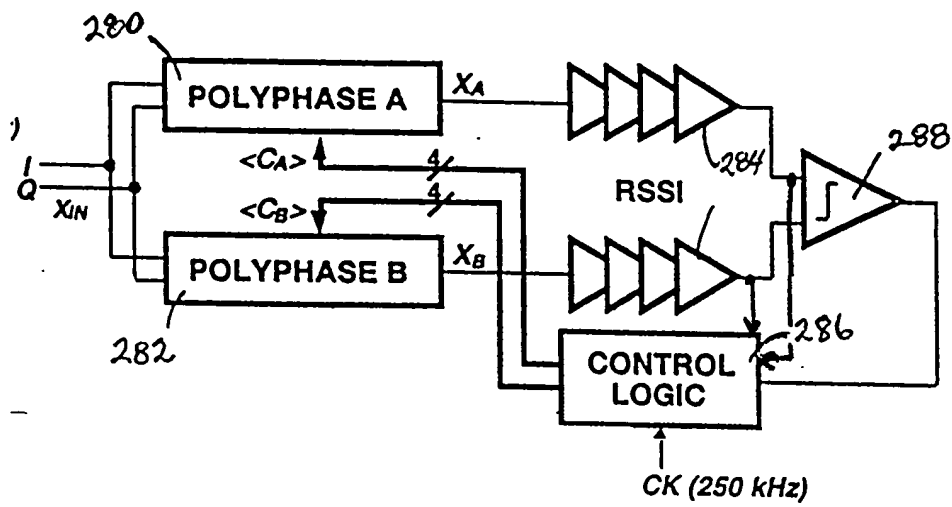


FIG. 40

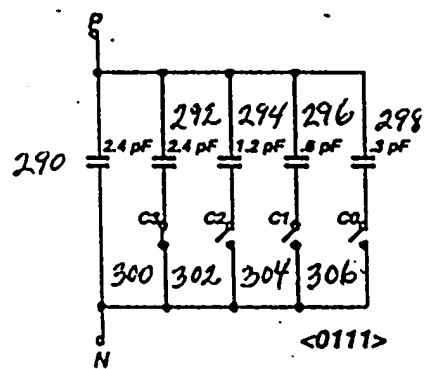


FIG. 41

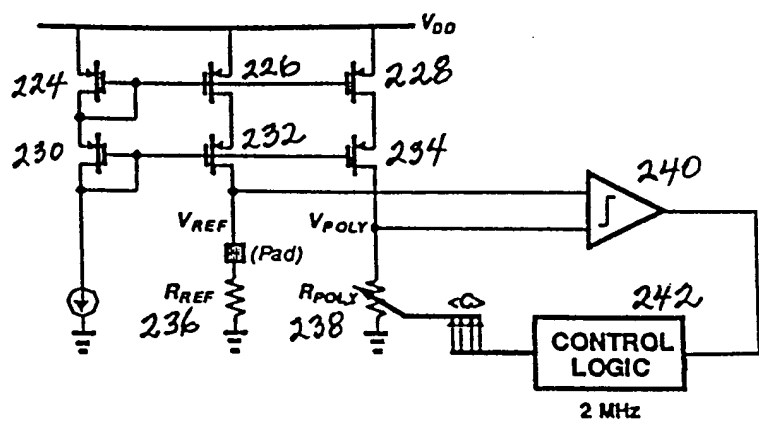


FIG. 42

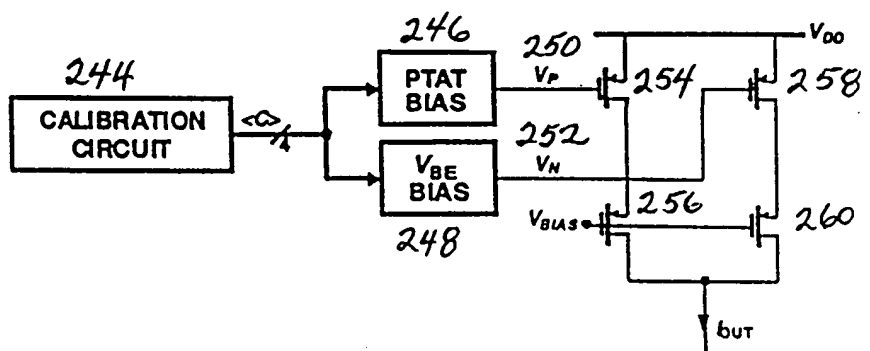


FIG. 43

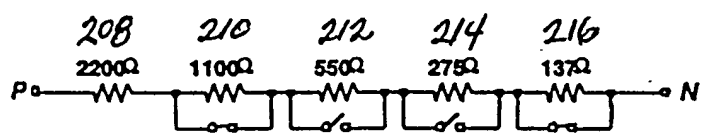


FIG. 44

00220 "864136960

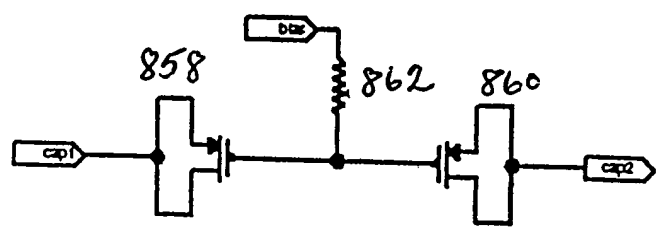


FIG. 45

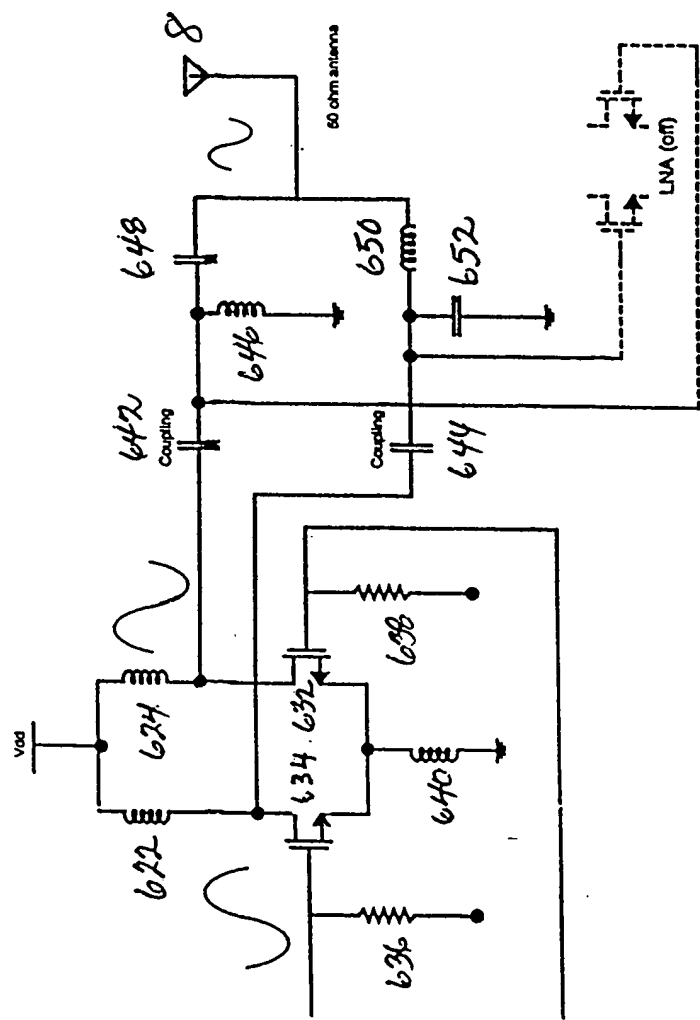


FIG. 44

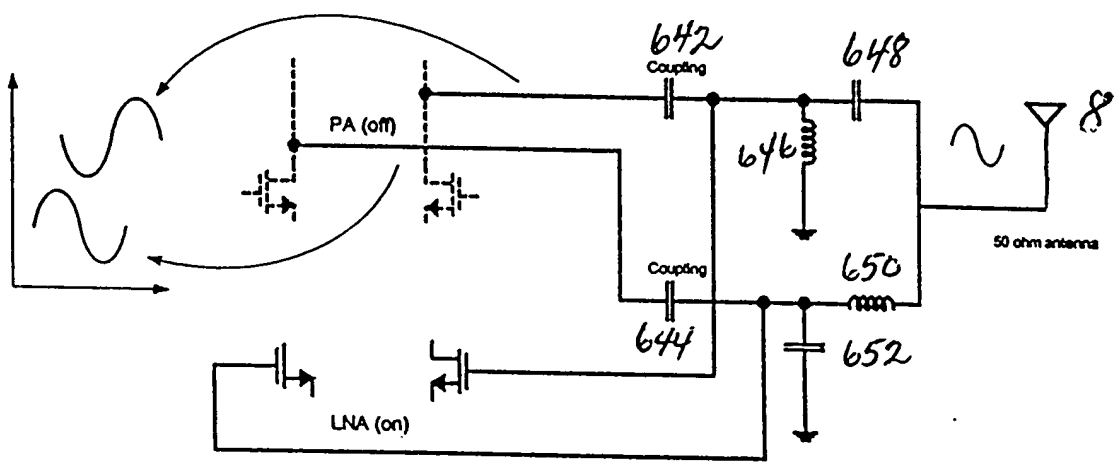


FIG. 47

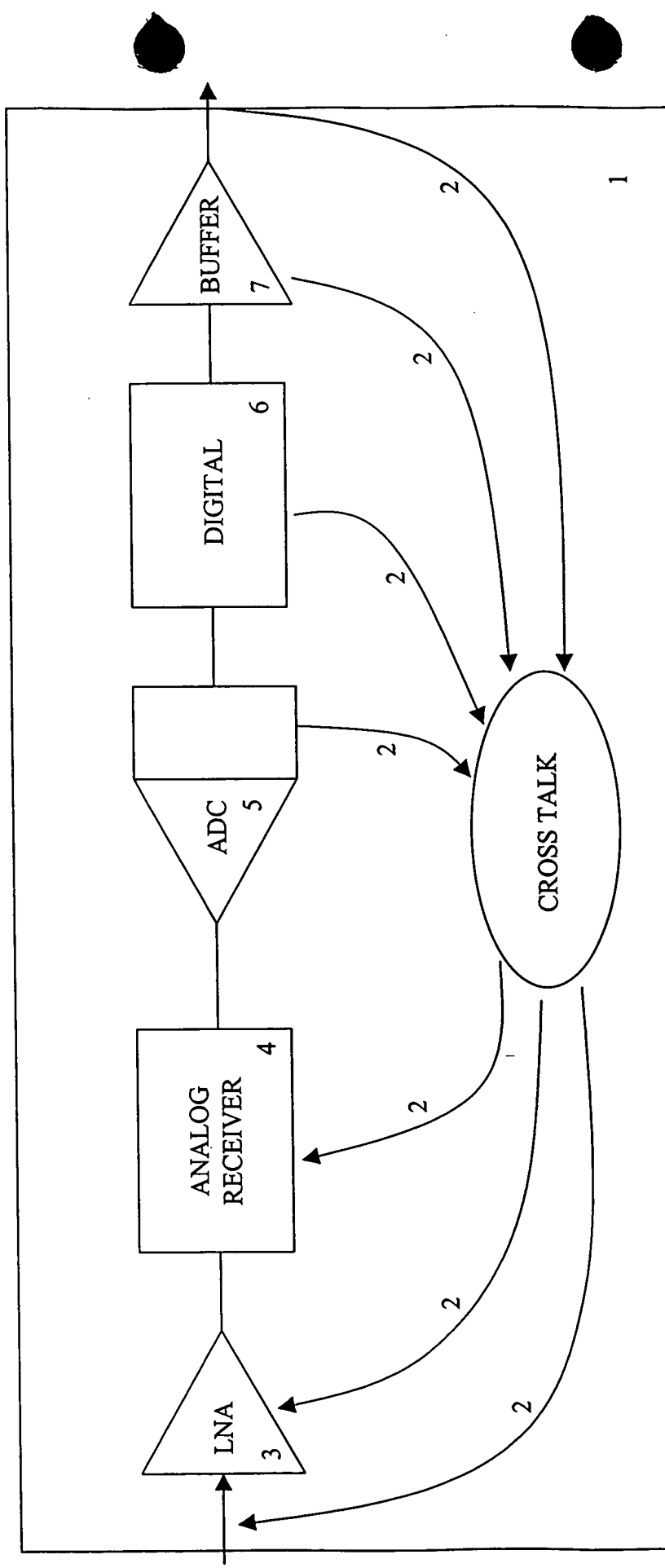


FIG. 48a

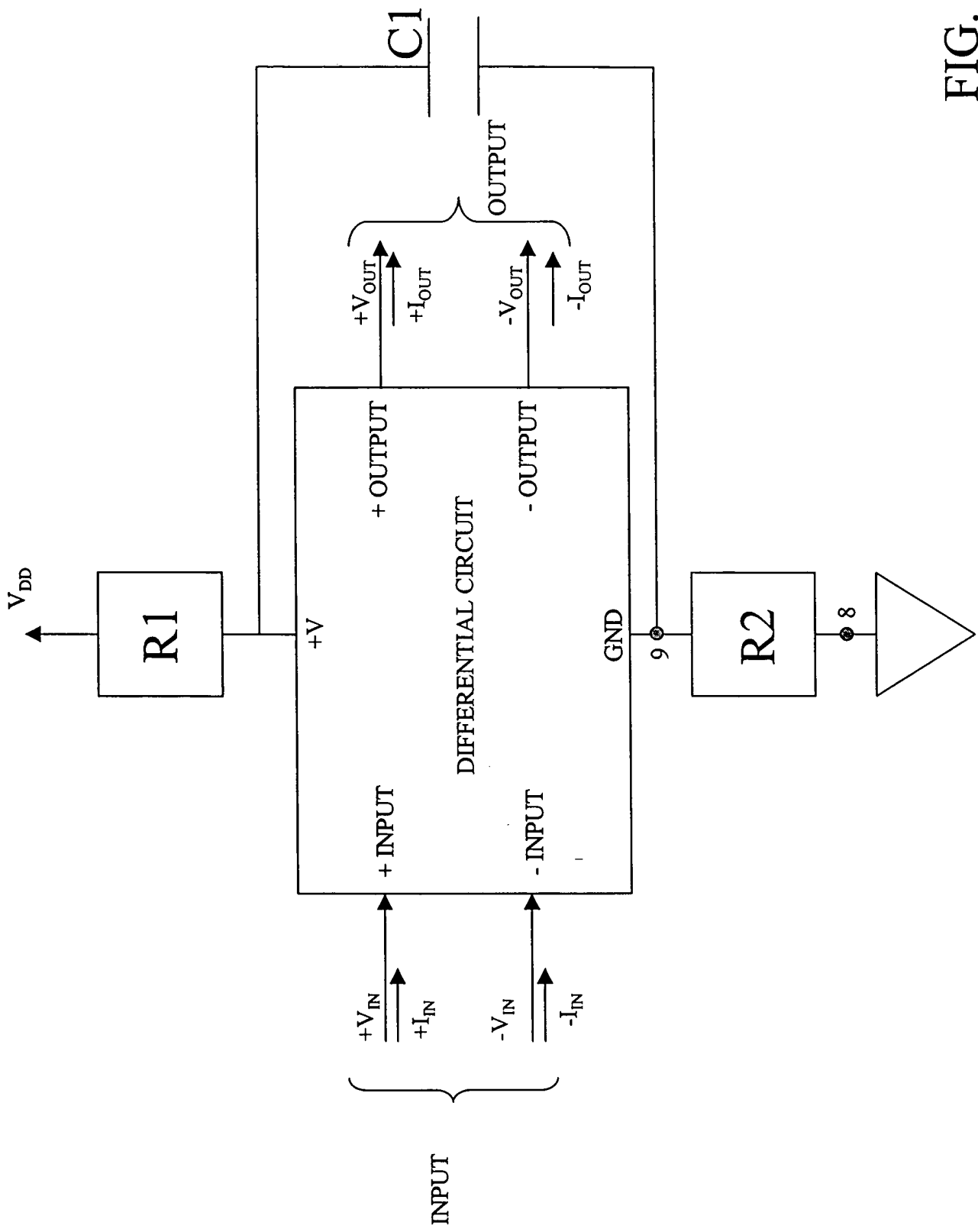


FIG. 48b

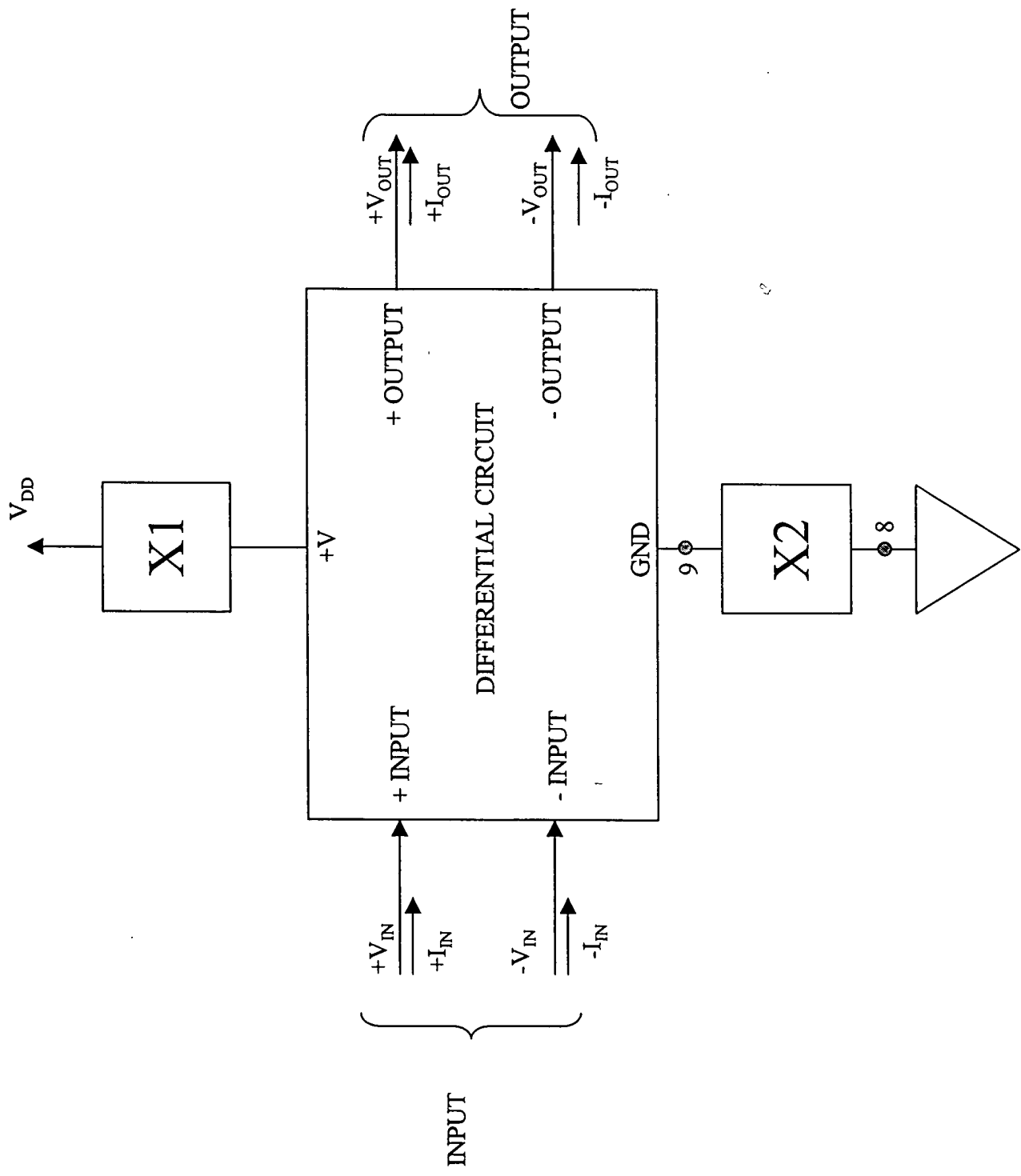


FIG. 48c

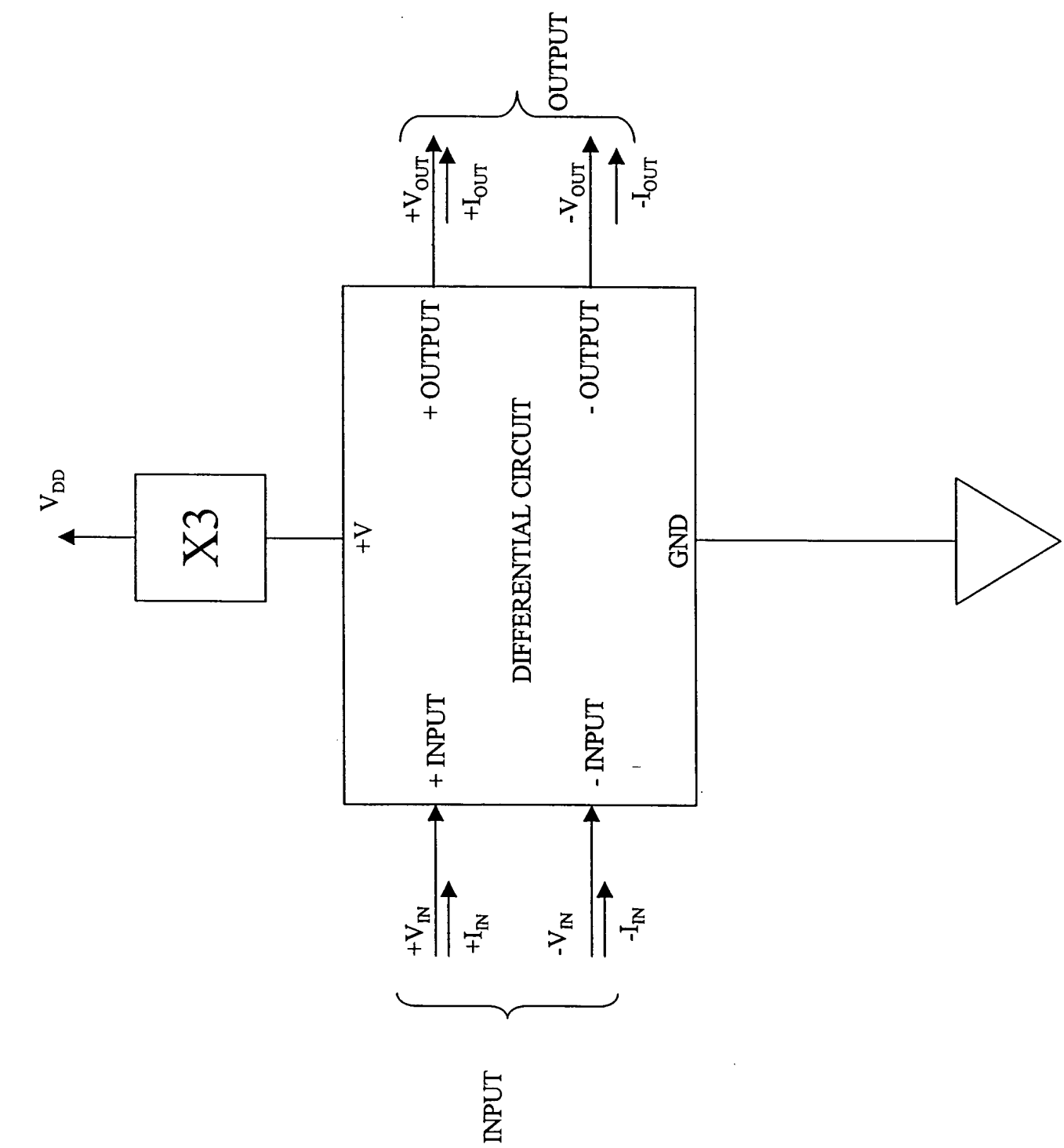


FIG. 48d

FIG. 48e

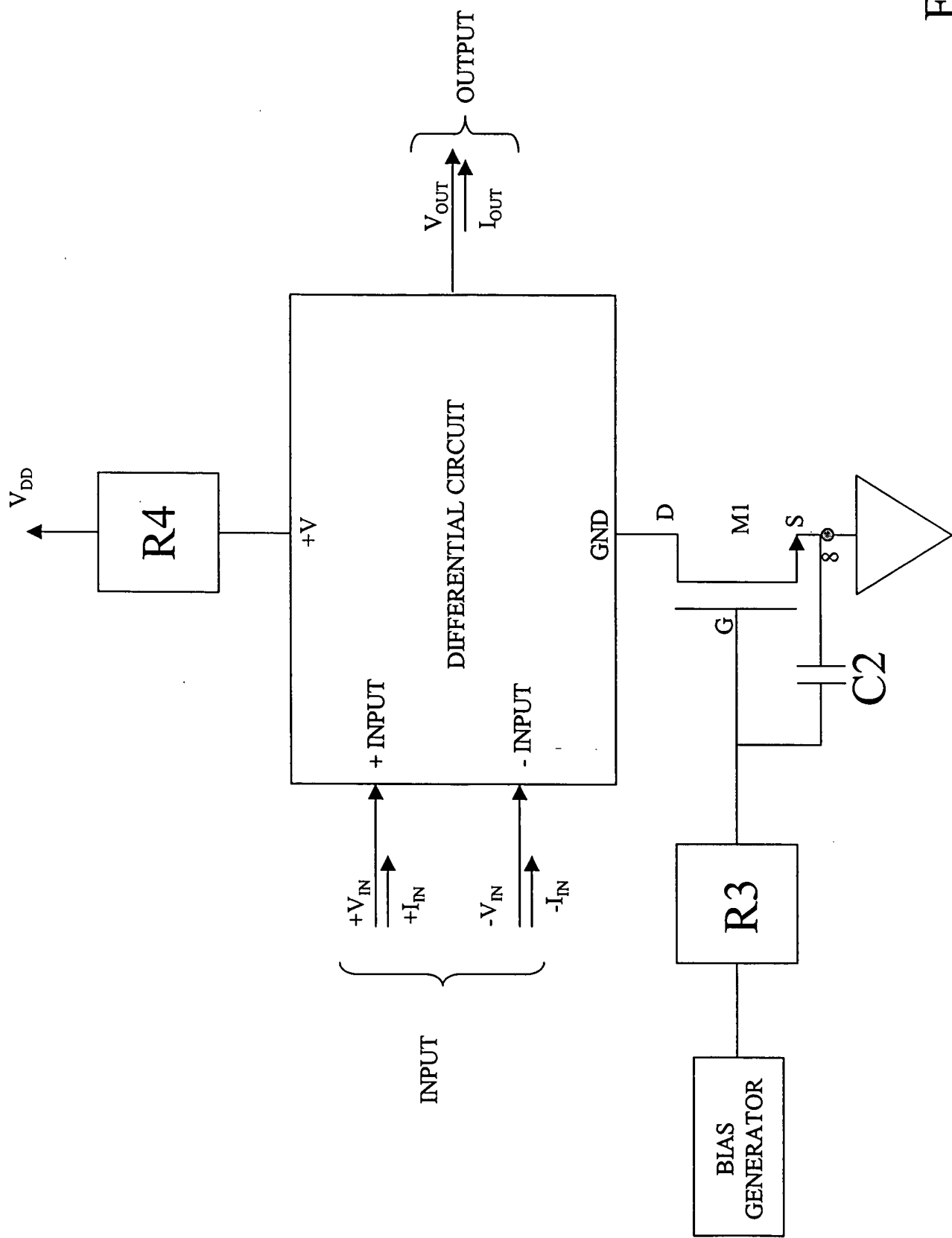


FIG. 48f

